

図1-4 ある場所の岩石の記録から読みとった事件を、ほかの場所のものと関連づけるために、補正を行う。補正是4つの原理あるいは法則にもとづいて行う。それぞれ單純なものであるが、ある地域の地質学的な出来事の歴史の再構成をするときには強力な道具である。

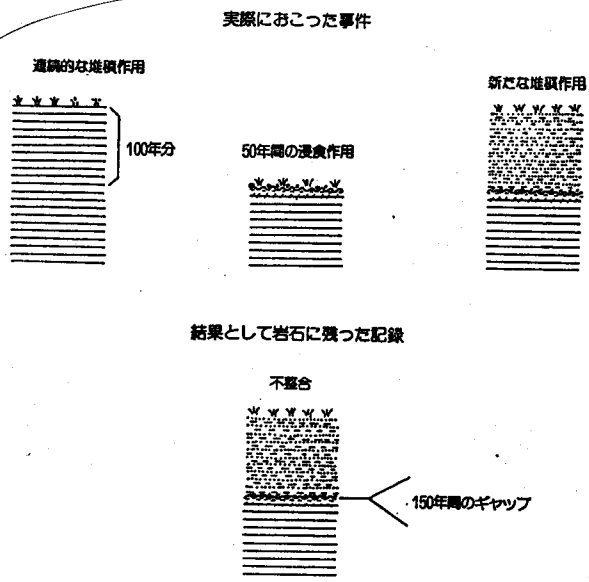


図1-3 浸食作用は、堆積作用の中止とともに存在していた部分の一部をとりのぞく。ハイエイクスは、不整合でしめされる時間のギャップのことをいうが、多くのばい浸食作用の歴史期間よりは長い時間間隔となる。

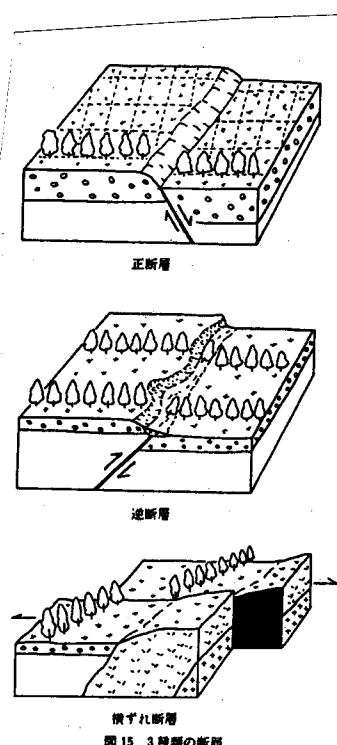


図15-3 3種類の断層

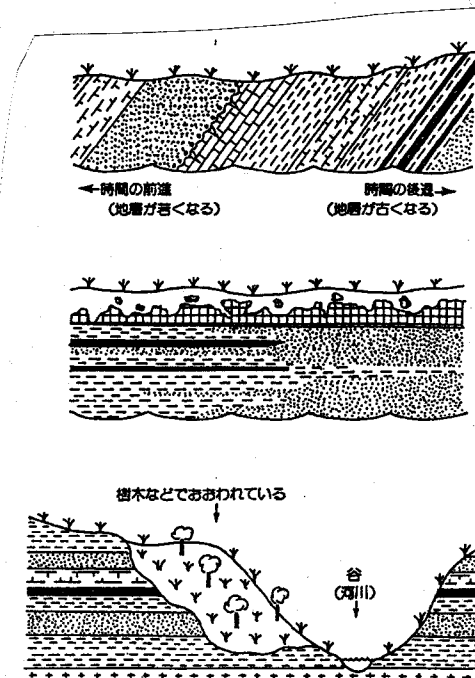


図1-5 一連の傾斜した地層に沿って歩くと時間の経緯を追って歩くことになる(上)。一方、水平な地層のばいにはある層相から別の層相への変化を追う(中)。樹木や谷(浸食作用)によって、地層が追跡できなくなり、地質学者たちは大いに悩む(下)。

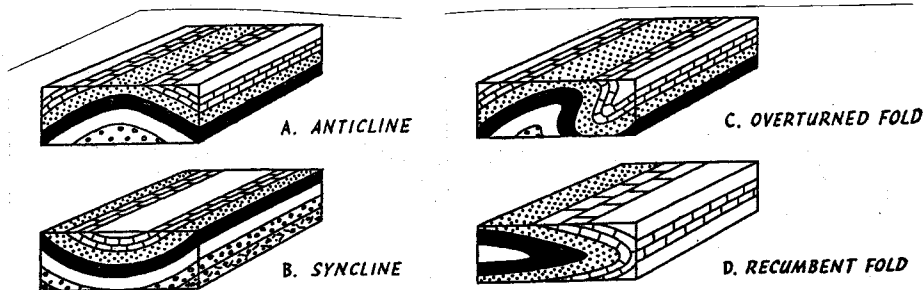
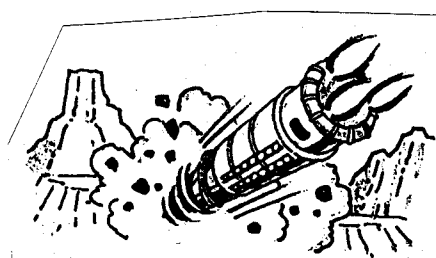


FIG. 21
Different types of fold.



地質年代表		
新生代	第四紀	完新世 -1万年前
		更新世 180万年前
中生代	第三紀	鮮新世 -500万年前
		中新世 -2300万年前
古生代	古第三紀	漸新世 -3800万年前
		始新世 -5400万年前
		統新世 -6500万年前
先カンブリア代		

図2-3 この地質年表は簡略化したものであるが、この本を読むにあたって必要な時代名とその境界の絶対年代をしめてある。

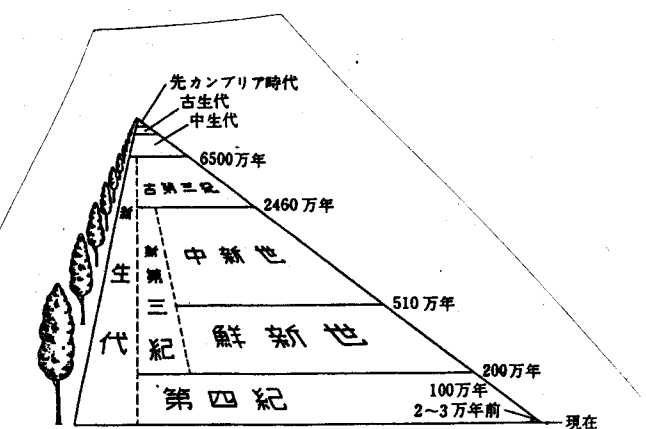


図17.2 地球の歴史の目盛の入った道路を過去に向って眺めた透視図。地質年代表をこのように理解するとよい(「大地の動きをさぐる」)

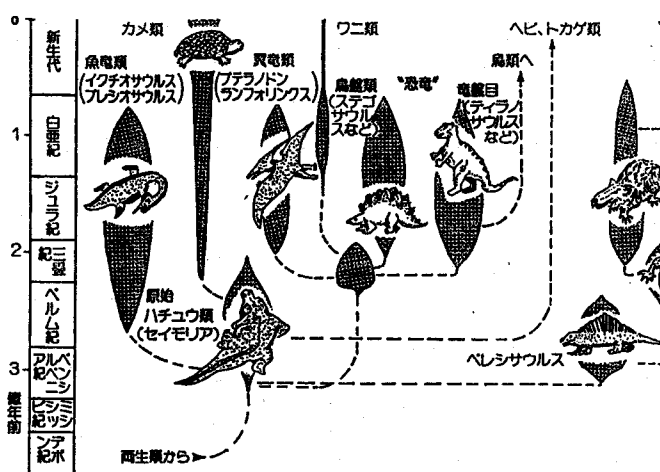
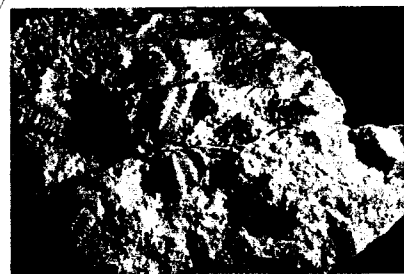


図16-7 ハチュウ類の多様化はいちじるしく、とてもこの図には入りきれない。古生代後半にはハチュウ類のほとんどのグループが出現したが、彼らがもっとも放散したのはあきらかに中生代であった。今日では、はなやかな哺乳類のかげにかくれてほとんどめだたない存在である。哺乳類はかなり早く出現したもの、新生代がはじまるまで恐竜王国のかたみで自分たちの時代がくるのをじっと待ちつづけていた。



高知県横倉山から産出した日本最古の化石群。
上は三葉虫。

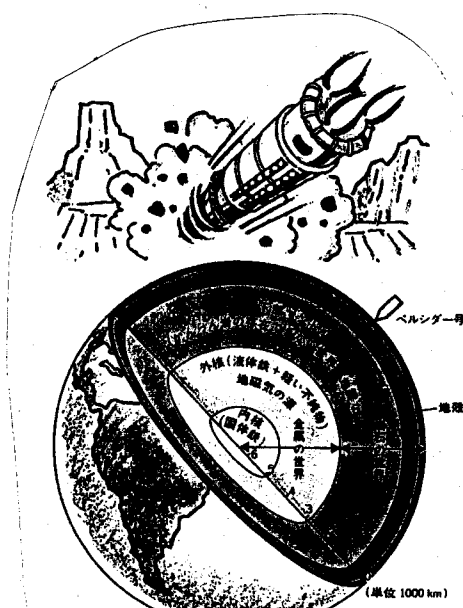
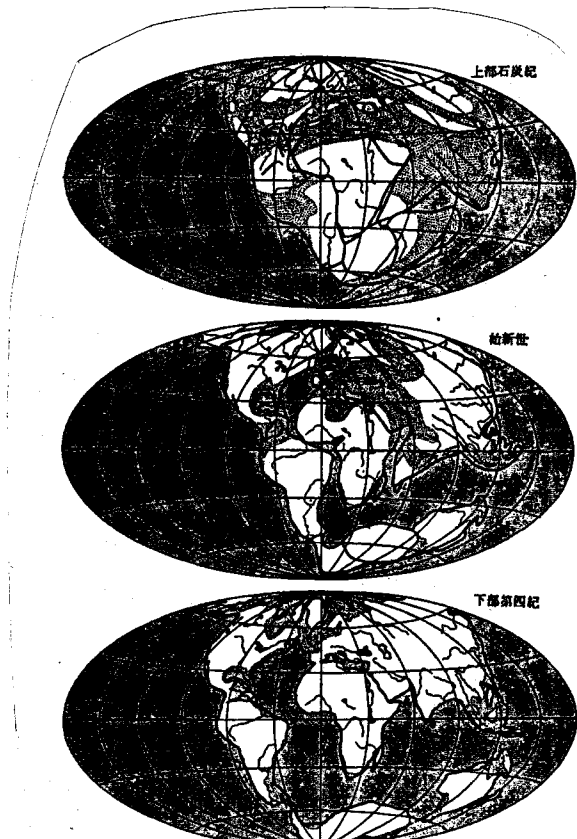


図1-3 ベルシダードと地底の世界
地球は非常にはっきりした層構造をしている



アミ点が海岸を、砂点が深い海を示す。現在の海岸線と川をそえたのは、現在の地図との対応を明らかにするためである。地図に描かれた緯度経度の線は、任意的なものである。現在のアフリカを基準の地域としている（これについては第八章を参照せよ）

第4図 大陸移動説による三つの地質時代に対する再構成図

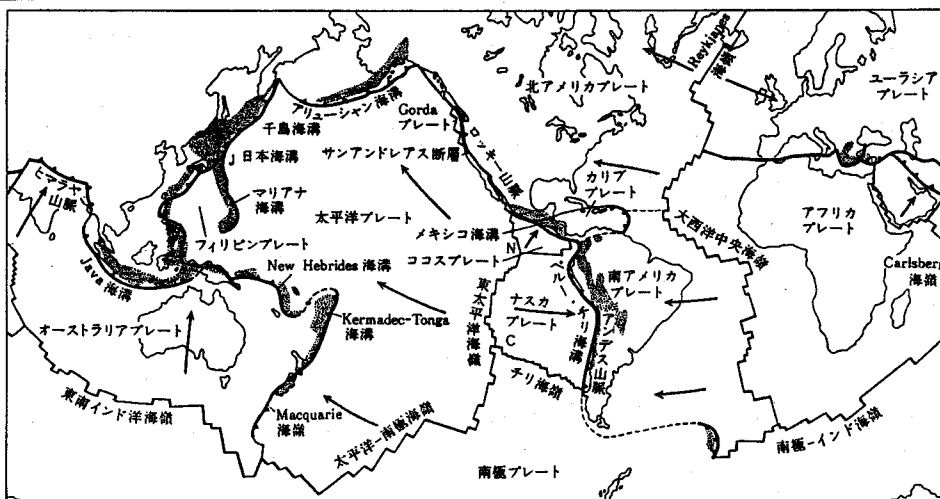


図 21.2 世界のプレート分布(Dewey, 1972による)①. アフリカを不動としたときの各プレートの運動を矢印で示した

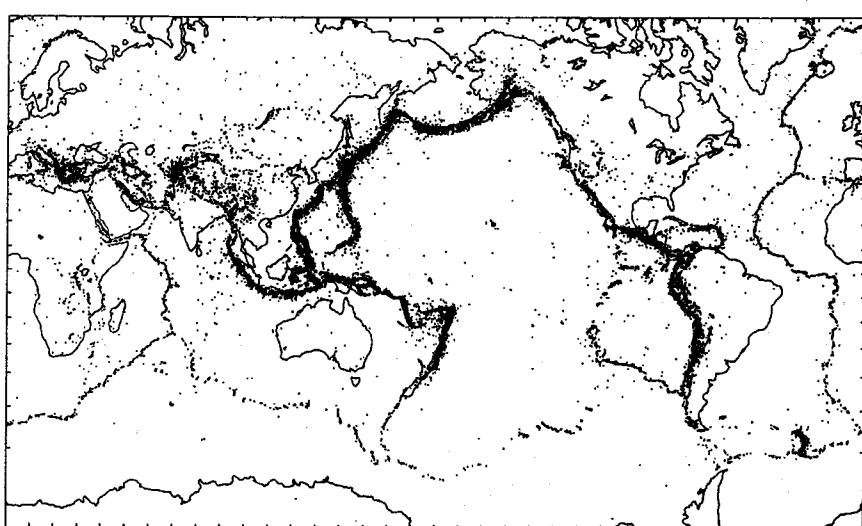
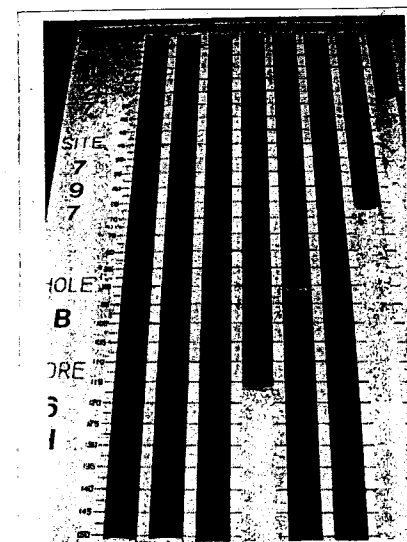


図 3-8 活い油源の地域分布
ISC (国際地質学データセンター) の 1964~1983 年のデータにもとづき、マグニチュード 4.0 以上、深さ 100 km 以
後の約 6 万個の震源が描かれている。大陸内 (特に中国) や大西洋底内 (たとえばハイ) など例外はあるが、ほぼプレ
ートの境界に沿って集中している。(改井, 1987, 本邦による)

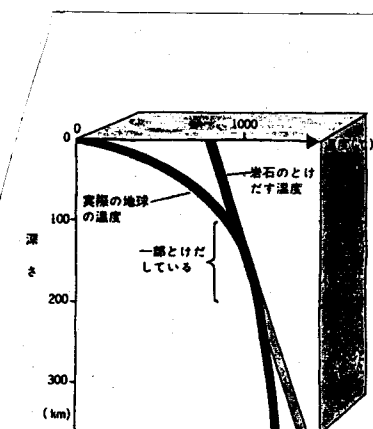


図 4-2 上部マントルの温度と岩石のとけ出す温度
深さ 100~200 km にかけて両者が接している。ここで岩石は、一部とけだしてネットトネになっている。逆に深さ 100 km より浅いところでは、両者の差が非常に大きく、岩石はカチカチになっている

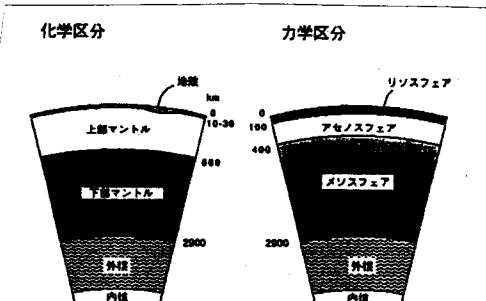


図 1.1.7 地球の化学区分と力学区分
化学区分は化学成分や相の違いであり、力学区分は変形のしやすさの区
分である。

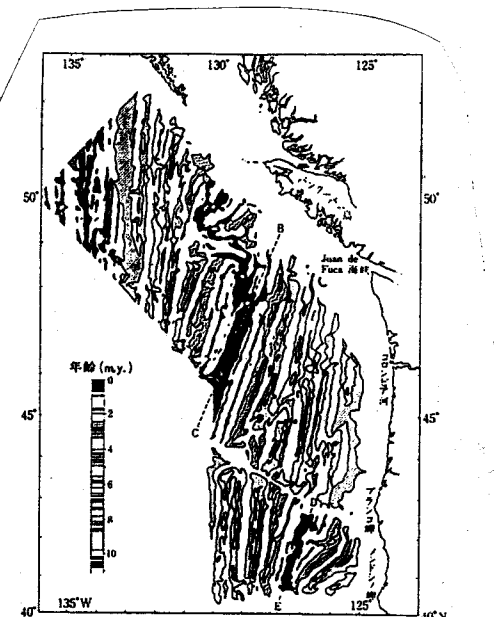


図 3.9 北アメリカ西海岸の地磁気全磁力異常(Vine, 1968)。正異常にはVine-Matthews 仮説にもとづく年代別の模様をつけてある。BC はファンデフカ (Juan de Fuca) 海嶺、DE はゴルダ (Gorda) 海嶺、CD はブランコ (Blanco) 破砕帯。

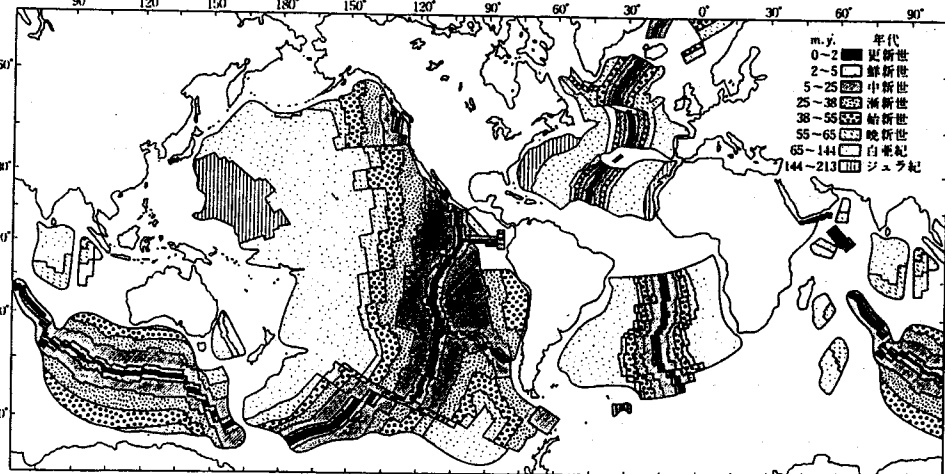


図 3.13 海底の年齢(Pitman et al., 1974).

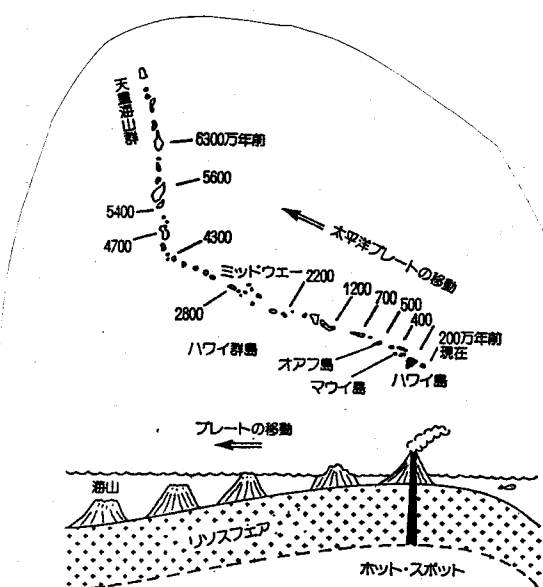


図 3.8 ハワイ諸島は太平洋プレートの下のマントルにできたホット・スポットの活動によってできた。プレートがホット・スポットの上を通過したとき、リソスフェアが縮張して割れ目ができる。火山活動がおこって火山島が形成される。リソスフェアの移動にともない、火山島がホット・スポットの真上からはなれてしまうと、火山活動は停止する。そして、新しい火山がその後方に形成される。こうしたリソスフェアの運動とホット・スポットの活動から、火山列島がプレートの運動方向に平行に形成されることになる。ハワイ諸島の火山島の年代は西方ほど古く、それからプレート運動のスピードが計算できる。ハワイ諸島はさちに北方への天皇海山群へとつなづくが、この列の折れ曲がりはプレートの運動方向が変わったことをしめす。すなわち、4500万年前以前には太平洋プレートは北方へと動き、その後北西方向へとむきを変えたのである。

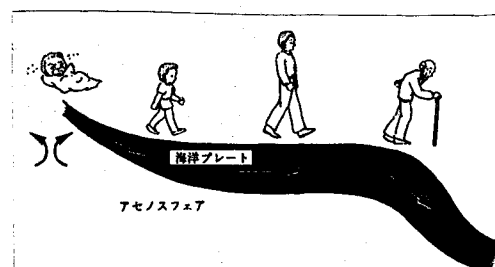


図 1.2.4 海洋プレートの一生
生まれたプレートは自ら内部熱エネルギーを失って冷えていく、ついにはアセノスフェアの中へ沈み込んで消滅する。

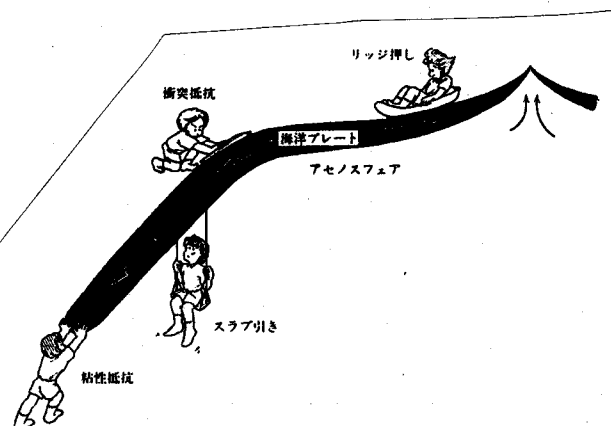


図 1.5.1 受動的に聞く海嶺
プレートにはいろいろな力が働いている。プレートを動かす力は海洋プレートが帶り落ちようとするリッジ押しとアセノスフェア中のプレートの重力による引っ張りである。それらが、アセノスフェアとメソスフェアの粘性抵抗と沈み込み帯における抵抗を受けている。海嶺からアセノスフェアが競争的に上がってくわけではない。

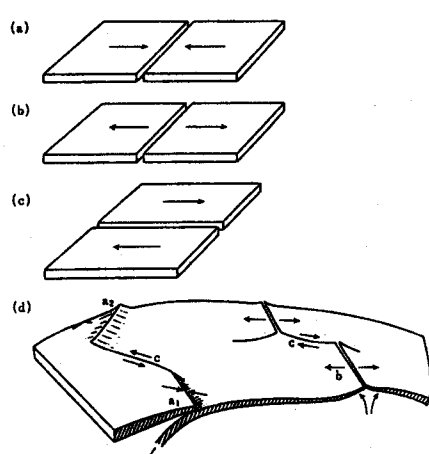
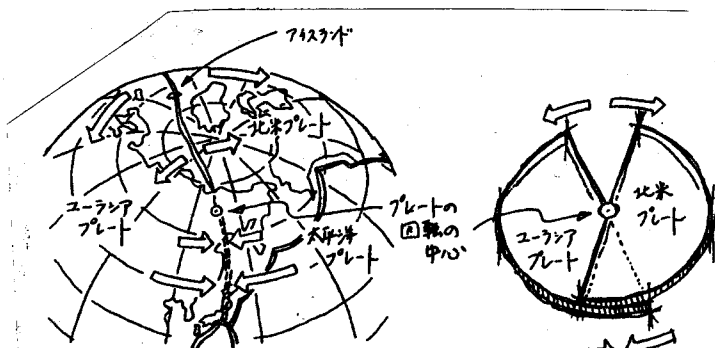
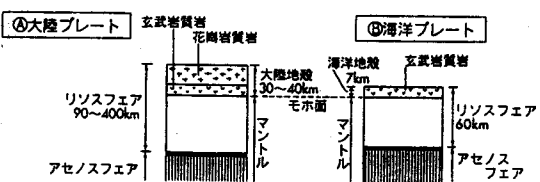
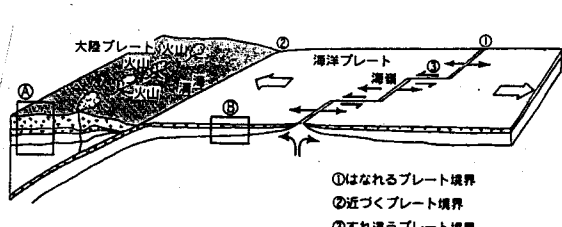


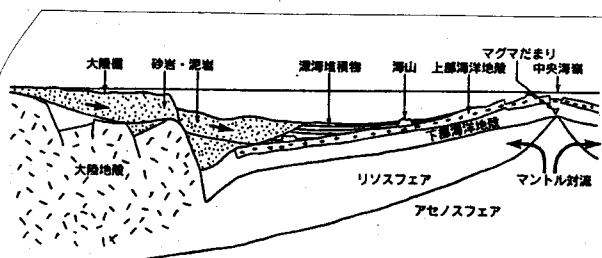
図 1.3 3種のプレート境界。二つのプレートが、(a)ぶつかり合う。(b)遠ざかる。(c)すれちがう。



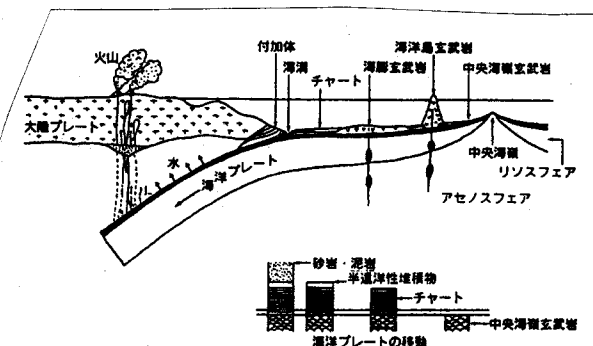
VII-3 北米プレートと日本



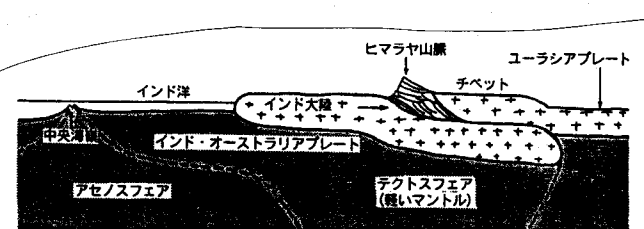
図② 3種類のプレート境界と、大陸・海洋プレートの構造



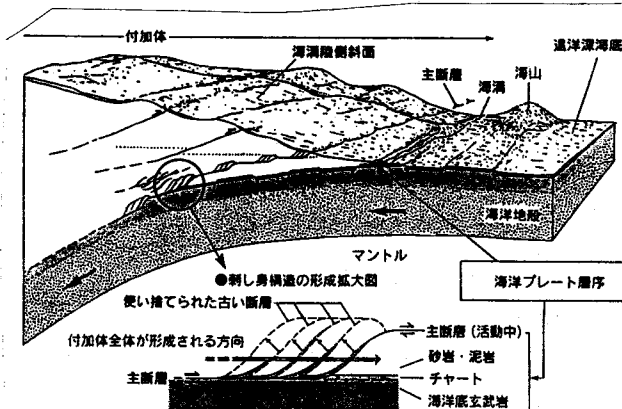
図③ 離れるプレート境界の構造と岩石



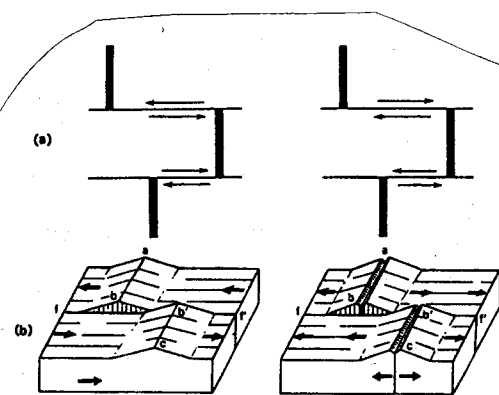
図④ 近づくプレート境界でのテクトニクス



図⑤ インド大陸がアジア大陸へ衝突してヒマラヤ山脈を造った



図⑥ 滞滯プレートが沈み込む滞滯での「刺し身構造」の形成プロセス

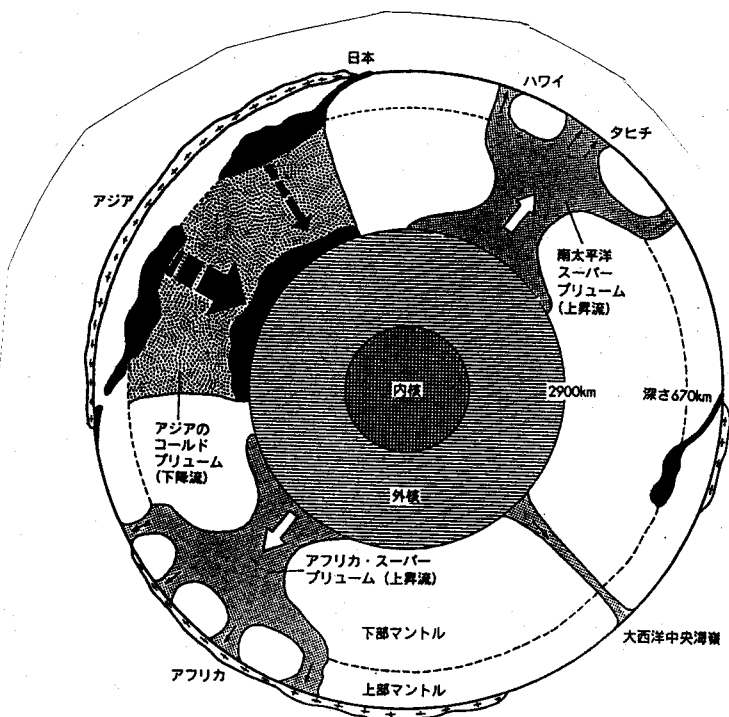
図 3.7 水平ずれ断層(左)とトランسفォーム断層(右)
(a) は平斷層。左の図の上の断層は左ずれ、下の断層は右ずれ。同じバーンでも右の図の上は右ずれ、下は左ずれ。と逆になる。(b)では、水平ずれ断層の場合には bb' の距離は次第に大きくなるが、トランسفォーム断層の場合は bb' の距離は始めから不变。

トランسفォーム

図 3.2.11 人から恐竜へ

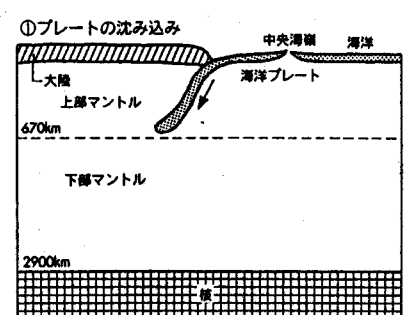
(a) 大陸移動
氷状列島 太平洋
大西洋
(b) 衝突
(c) 新しい沈み込み

図 1.6 プレート・テクトニクスの模式図。(a)太平洋よりも大西洋が大きくなり。
(b)太平洋は閉じて、ユーラシアと北アメリカ大陸が衝突する。
(c)大西洋が沈み込みを始め、新しい太平洋が開き出す。

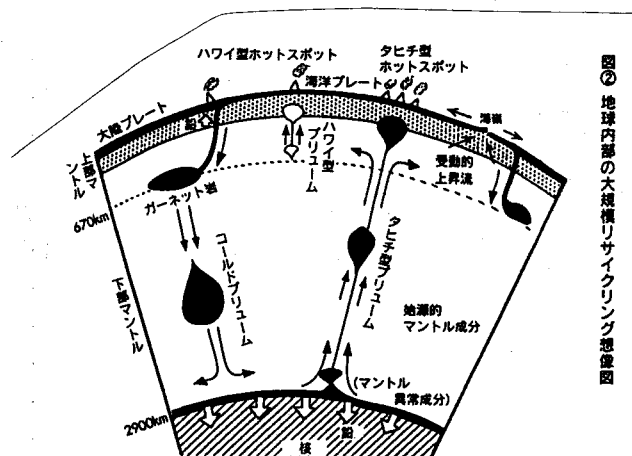
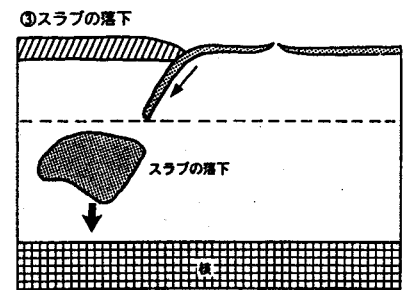
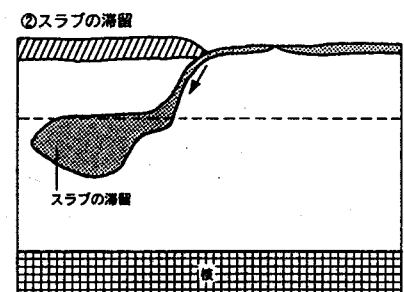


図① プリュームテクトニクス模式図

地球内部には、ふたつのスーパークリューム（上昇流）と、ひとつのコールドクリューム（下降流）がある。地下670km（上部・下部マントル境界）より深いところではプレートテクトニクスが働いているが、それより深いマントル内ではクリュームテクトニクスが支配している。



沈み込んだプレートの行方
沈み込んだプレート（スラブ）は、深さ670kmでいったん滞留し、その後、崩落してあるよだれを吐く。その時間スケールは一~4億年。



図④ 地球内部の大規模リサイクリング想像図

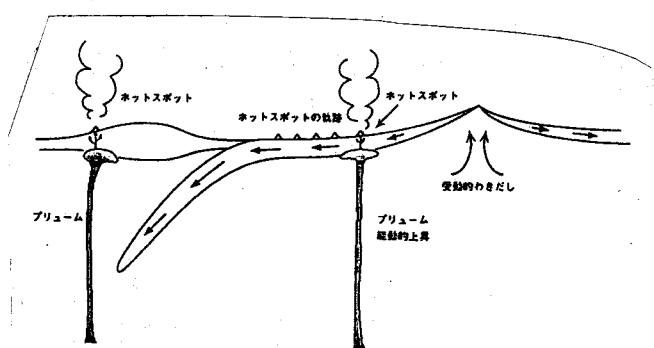
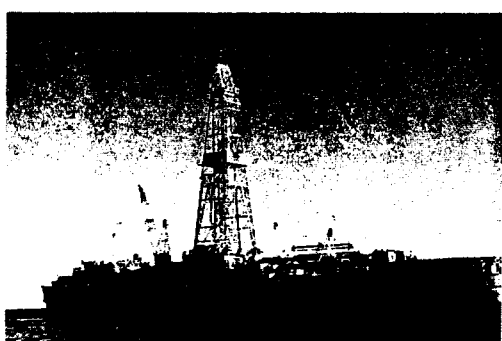


図 1.5.6 ホットスポットとクリュームの概念
地球深部から上昇してきた円柱状クリュームは、地表でホットスポットをつくる。



掘削研究船ジョイデスリューション号、グローマーチャレンジャー号の後を受け継ぎ、国際深海掘削計画の中心となって活躍中(黒木一志氏撮影)

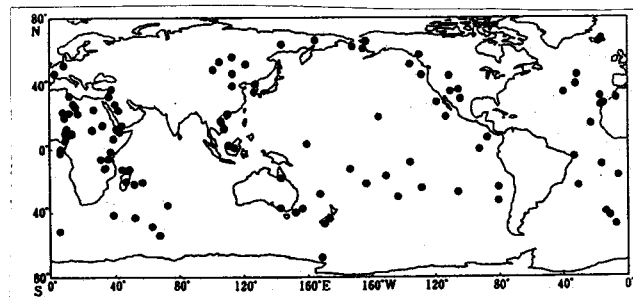


図 1.5.4 ホットスポットの分布 (Turcotte & Schubert, 1982)

地質時代		放射年代 (単位百万年)	日本の化石	日本列島の形成に関連した出来事
新生代	第四紀	完新世	ナウマン象	平野の形成
		更新世		日本海側の褶曲帯の形成
	第三紀	鮮新世	ピカリヤ(巻貝)	丹沢の衝突、沖縄トラフの形成
		中新世		日本海の拡大
		漸新世	貨幣石(大型有孔虫)	四国海盆の拡大
	古第三紀	始新世		炭田の形成
		暖新世		
		65		
中生代	白亜紀	アンモナイト フタバスズキ蟲	四万十帯・日高帯・常呂(とこうろ)帯の付加、花崗岩の貫入、横ずれ運動	
	ジュラ紀	魚竜	付加体の形成(伊吹海山列の付加)	
	三疊紀	コノドント		
	ペルム(二疊紀)	坊鍼虫	西南日本内帯の付加体の形成(秋吉海山列の付加)	
古生代	石炭紀	サンゴ	秋吉石灰岩をいただく秋吉海山列が赤道付近で誕生	
	デボン紀	鱗木		
	シルル紀	クサリサンゴ・ 三葉虫	飛驒外縁帯・南部北上帯・黒瀬川構造帯の岩石が兩半球ゴンドワナ大陸の一部として誕生	
	オルドビス紀			
	カンブリア紀			
	575			
	約 4600		飛驒変成岩の原岩の形成(20億年前?)	
先カンブリア時代				

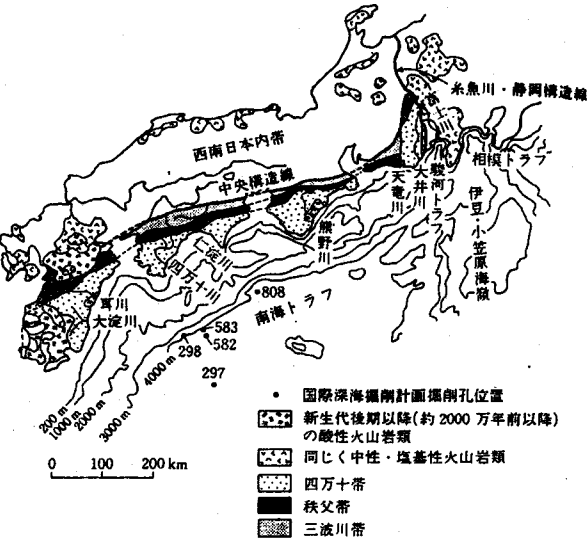


図 1-1 南海トラフの地形と西南日本外帯(中央構造線より太平洋側の地帯)の地質、国際深海掘削計画の掘削地点番号および主要河川も示す。297, 298 地点は第 31 次航海、582, 583 地点は第 87 次航海、808 地点は第 131 次航海。

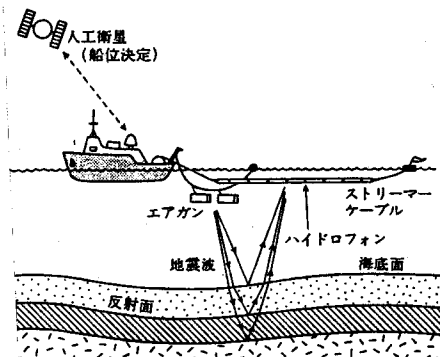


図 1-3 反射式人工地震波探査法の構式圖

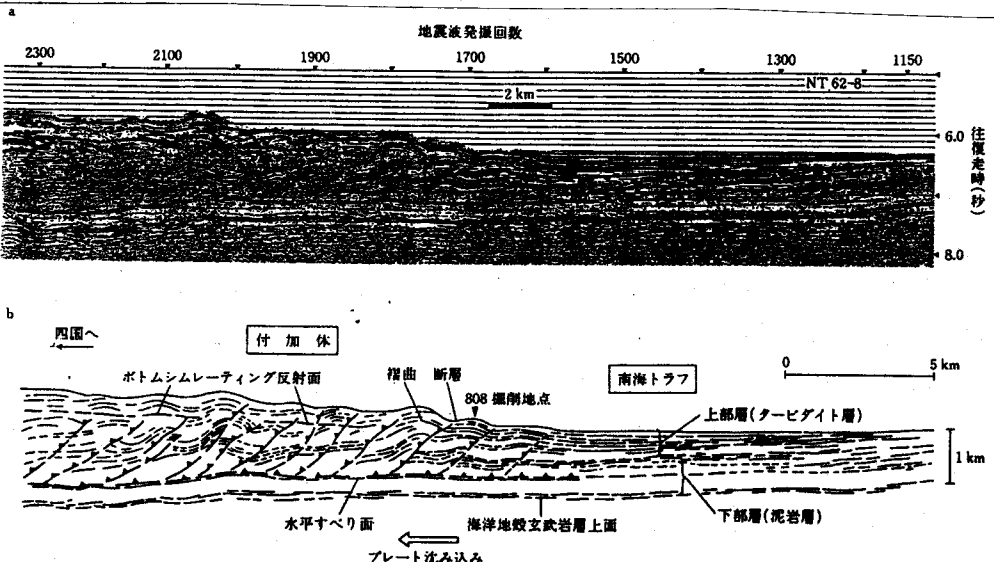


図1-3 宮戸沖南海トラフの反射人工地震波断面(a)とその解釈(b)。四国海盆(フィリピン海プレート)の基盤岩(玄武岩)、下部の泥岩層、上部のターピグイト層、滑曲、断層、水平すべり面などが明瞭に描き出されている。この記録は東京大学海洋研究所とチカサ大学が行った南海トラフ共同調査の際、フレッドマーキー号によって得られたもの。本文中に出てくる石油賃貸(株)の記録も同様なものと思ってよい。A-A'線については第8章を参照。

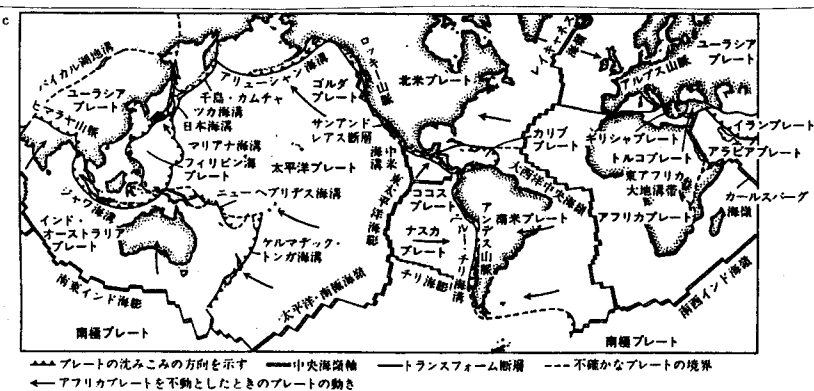
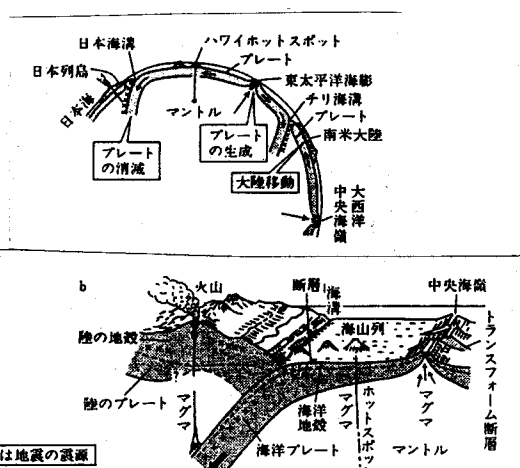


図 1-4 プレートテクトニクス

a: 地球の断面でみたプレートの生成と沈み込み(日本海-ハワイ-東太平洋海嶺-チリ海溝-大西洋中央海嶺を結ぶ断面) b: 中央海嶺で生成された海洋プレートが海溝で沈み込むまでの様子 c: 地球上のプレートの分布とその堆積

(a と c は力武當次ほか「高等学校地学」(三訂版), 数研出版による)



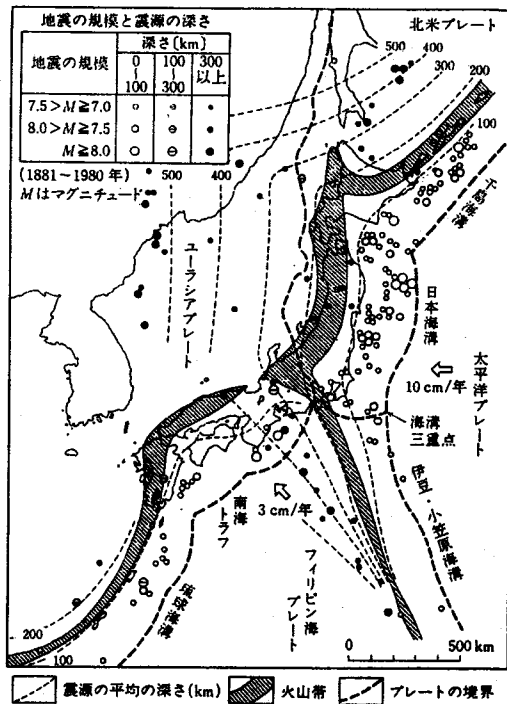


図 1-5 日本列島周辺のプレート境界、火山帯および深発地震の震源の深さ(1881~1980年に起きた地震)も示す(『地学』東京書籍による)

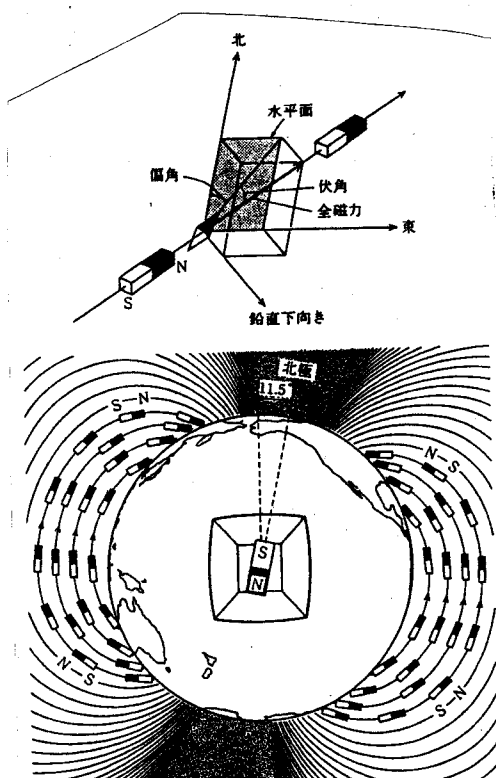


図 1-6 断層と褶曲、低角度の逆断層を衝上断層(スラスト)とよぶ。衝上断層は強い横圧縮力をもってでき、褶曲を伴う。

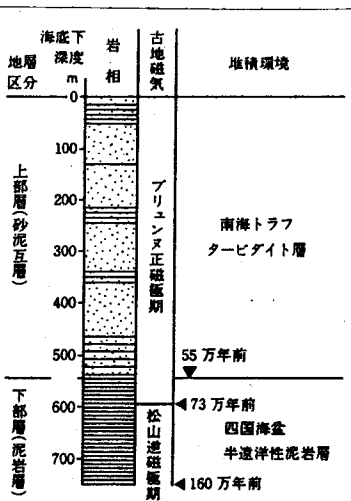


図 1-7 國際深海掘削計画における南海トラフ 582 掘削地点の堆積層柱状図

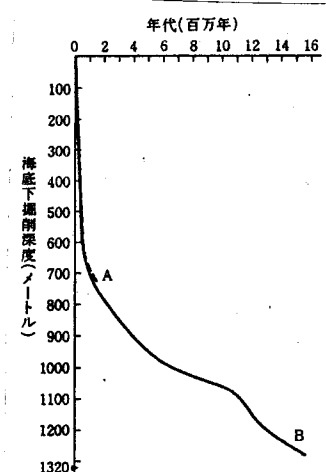


図 1-9 南海トラフの堆積速度。A は 582 地点、B は 808 地点(808 地点については第 8 章をみよ)

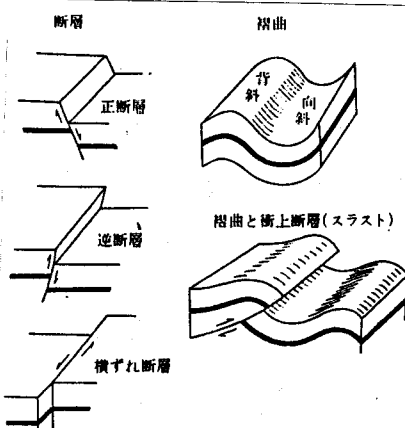


図 1-10 南海トラフ 582 地点、上部層を構成する砂泥互層中の砂層(T 層)と泥層(H 層)の堆積構造



図 1-11 実験水槽内で作られた乱泥流。水をためた水槽の端のタンク中に塩水とアルミ粉末の混合液(粘土分散液でもよい)を作り、仕切りをとると勢いよく流れ出す。周囲の水より重い混合液が、水の下へもぐり込むためである。海底の乱泥流も同様な密度流と考えられる。写真的横幅は 200 cm、たては、40 cm に相当。右側にみえる紙のすじは水槽を支えるフレーム。

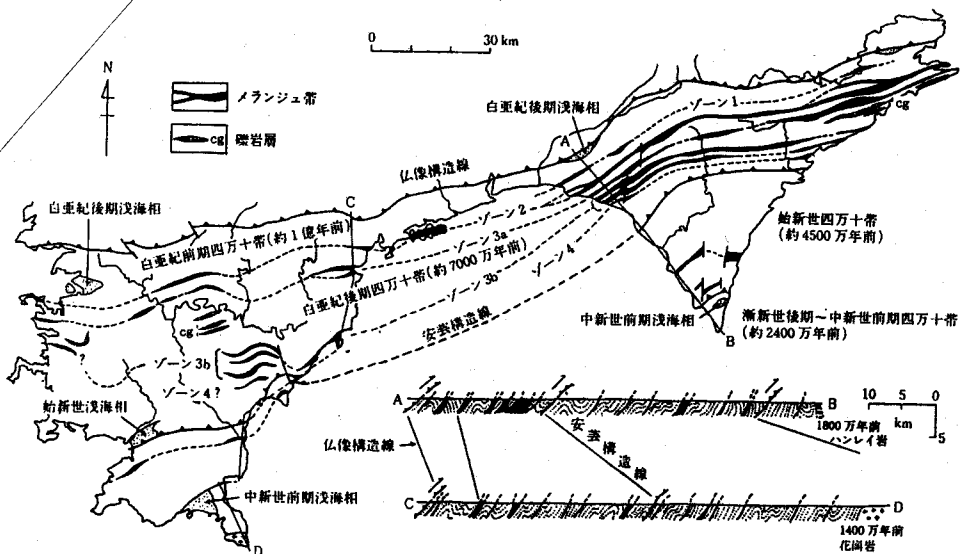


図 2-1 四国における四十万帯の分布と地質断面。四十万帯の分布範囲内で白ヌキの所は主としてターピダイト層の分布する所を示す。

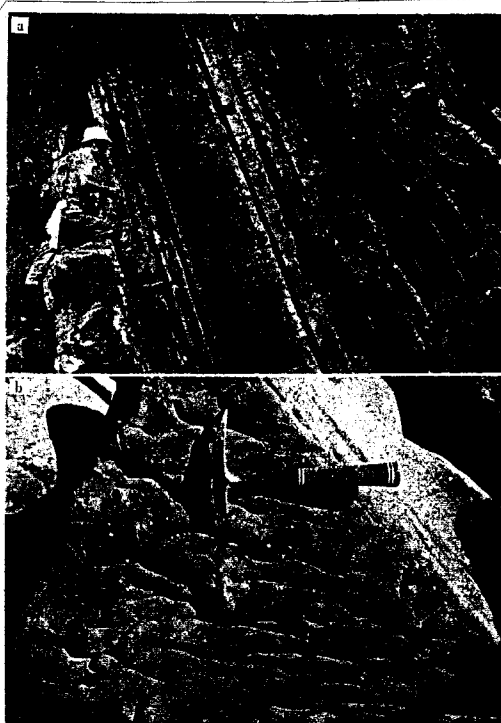


図 2-3 四十万帯砂泥互層(ターピダイト層)の露頭写真
a: 約 70 度傾斜した地層、人物は甲藻高知大学名誉教授。
b: ターピダイト層底面にみられる渦流による堆積構造(底底)。左から右への流れを示す。

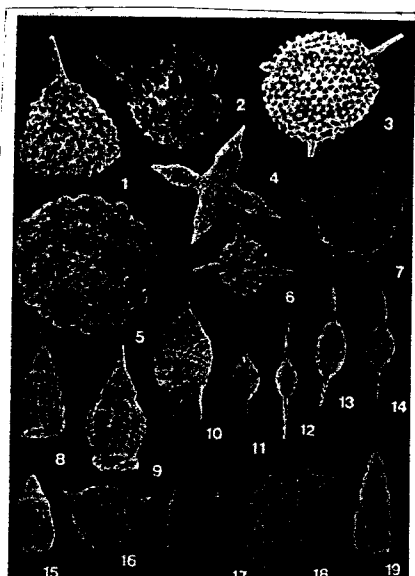


図 2-2 四十万帯から産出した放散虫化石の走査電子顕微鏡写真(飼村真氏による)

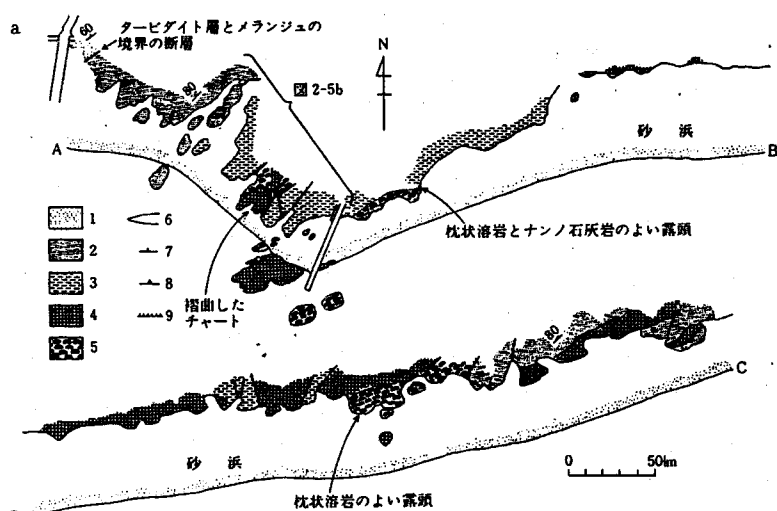


図 2-5 高知県高知市住吉海岸のルートマップ(a)(地層の分布を平面図に表現したもの)とその一部をヘリコプターから撮った写真(b)。a の凡例説明。1: ターピダイト層、2: 剪断の著しい泥岩層、3: 多色頁岩層、4: 砂状放散虫チャートおよび赤色頁岩層、5: 枕状玄武岩層、6: レンズ状岩塊間の境界を実線で示す、7: 地層の走向と傾斜、8: 地層中の剪断面の走向と傾斜、9: 剪断の走向と傾斜、b の番号は a の凡例と同じ岩相を示す。走向はある面と水平面の交線の方向を指し、傾斜は走向に直交する方向でのその面の傾きを指す。剪断面については図 2-8 参照。

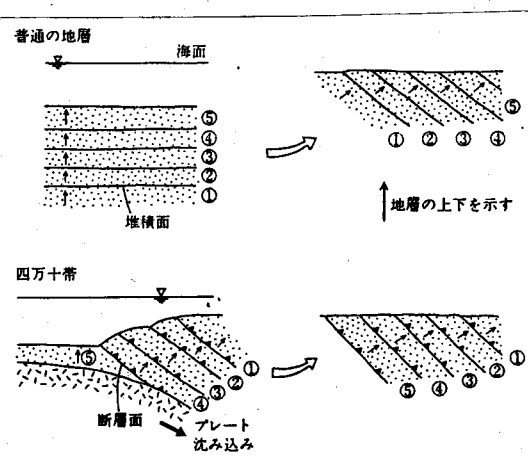


図 2-4 四十万帯と普通の地層での地層の傾斜と年代の関係を示す模式図

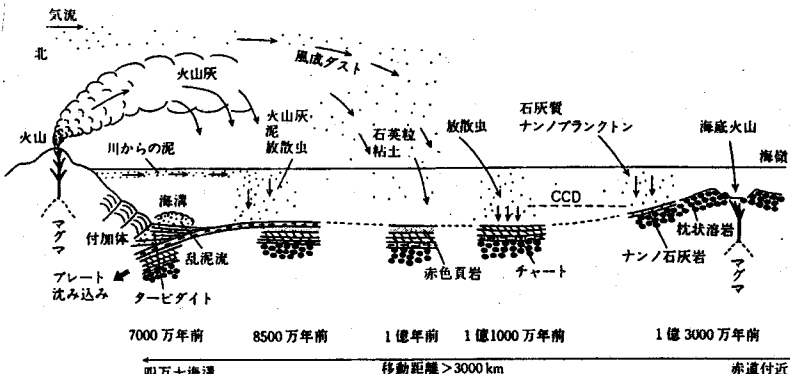


図 2-6 白亜紀後期四十万帯の形成過程。図は、時間とともに海洋プレートの 1 地点を追う形で作られている。

期 階	岩相柱状図	岩相名(厚さ)	石英粒	酸性 凝灰岩	堆積環境	古緯度
百万年						
カンパンアン	70	砂勝ち砂泥互層(1000 m) 泥勝ち砂泥互層 / ランジュ 基質	>100	↓	海溝 チャンネル性ターピゲイト 范塗原ターピゲイト	0° 20° 40° N
サントニアン	80	多色頁岩(100 m)	30		半遠洋性泥と 酸性凝灰岩	
コニアシアン	90	赤色頁岩(5 m)	15		遠洋性粘土	
チュニアン	100	(赤色頁岩を含む)			放散虫軟泥	
セノマニア	110	層状チャート(50 m)	平均 粒子 (単位: マイクロ メートル)		海洋玄武岩	
アルビアン	120	(ナノ化石を含む)			ナノプランクトン軟泥	
アラチアン	130	枕状玄武岩溶岩			海洋玄武岩	
ハレミアン		ナノ石灰岩(1 m)				
オーテリピ アン						
ハランギニア ン						

図 2-7 白亜紀後期四十万帯のメランジュに含まれる地層や岩石を放散虫化石の時代に基づき復元した地層の重なりの様子。階は白亜紀を細分した時代を表す。約 7000 万年前の“四十万海溝”でボーリングをしたときの柱状図と思ってもよい。

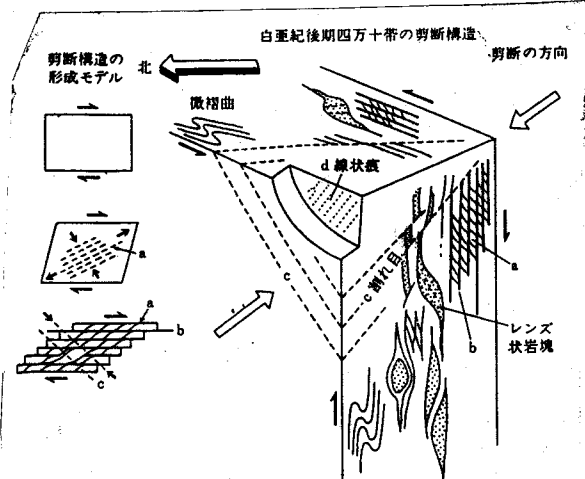


図 2-8 白亜紀後期四十万帯の剪断構造。a は鉱物(とくに偏平な粘土鉱物)の配列方向, b は剪断面, c は割れ目, d は線状帯を示す。これらの構造の形成モデルも示す。

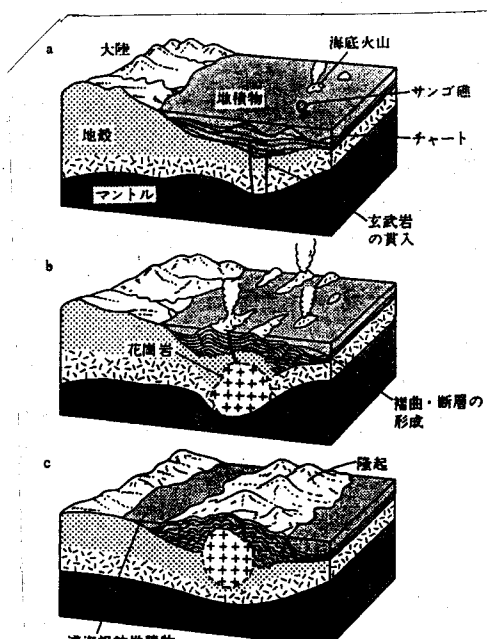


図 3-1 地内斜造山脈。地向斜は仮想的な海底の沈降域で(マントル対流に原因を求める人もいる)、後に山脈として発達する。

a: 海底の沈降がつき、厚い地層が堆積する。海山の上にサンゴ礁、海底にチャートや砂泥が堆積している。玄武岩の貫入が起こる。すなわち、チャートや砂泥は同時代のものである。b: 沈降に伴い地下にもち込まれた堆積物が高い圧力や熱により変成岩に変化。一部は溶けて花崗岩となる。c: 花崗岩が貫入し、隆起し、山脈となっていく。

地向斜は、ア巴拉チア山脈やアルプス山脈の地層の重なり、地質学的の事象の順序を説明するのに用いられた概念。しかし、なぜそのようなことが起こるのかについて説明ができない。現代の地質学では、地向斜の考えは必要でない。

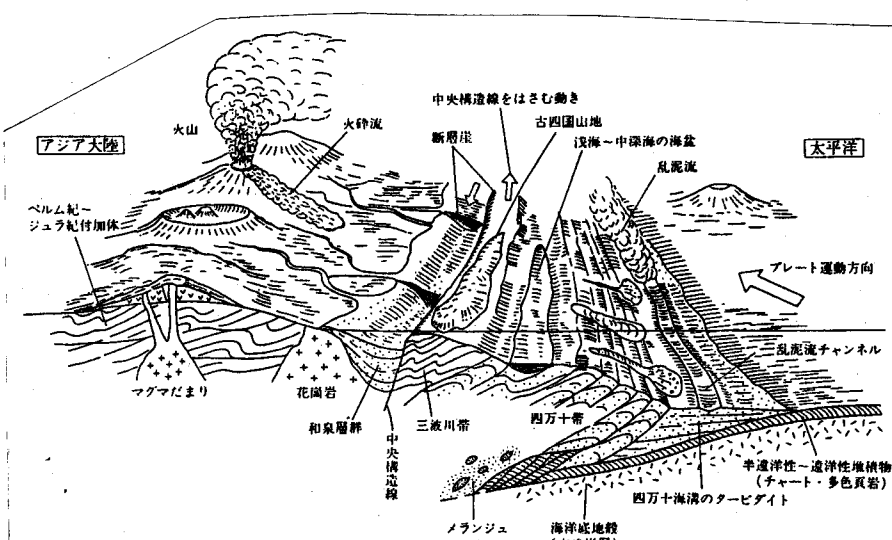


図 2-9 白亜紀後期西南日本の復元。四十万海溝にはプレートが斜め方向に沈み込んでいる。海溝では乱泥流の活動が活発でターピゲイトが堆積していた。また四国では、中央構造線が左横ずれ運動をしており、和泉盆地ができていた。中国地方では、火山が激しく活動しており、地下では花崗岩がマグマだまりより形成された。



四十万帯のメランジュ(高知県)。プレートの沈み込みによってできた。ハンマーが大きさの印

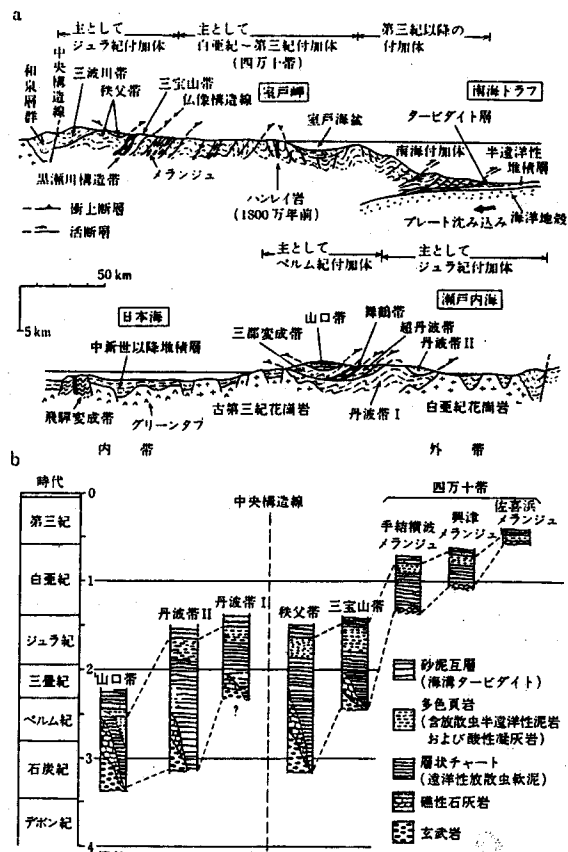


図 3-3 西南日本の地質構造と巻相

a: 西南日本の地質構造断面。南海トラフにかけて、"年輪"のよう に付加してきた様子が示されている。b: 西南日本を構成する主 な地帯の模式復元柱状図。この図は、さまざまな岩石の化石年代 をもとに、それらが、海溝に沈み込む直前の巻相層序を復元して 示したものである。中央構造線で内帯と外帯のジュラ紀付加体が くくりかえしているのがわかる。

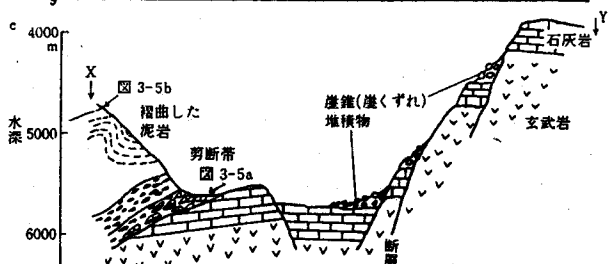
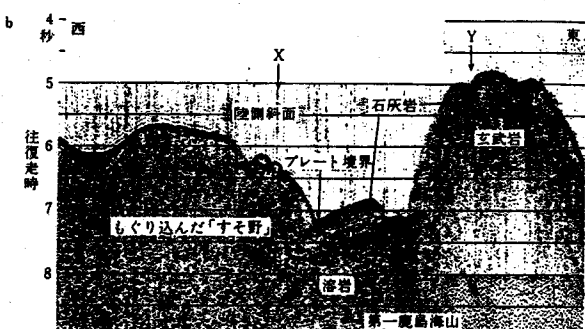
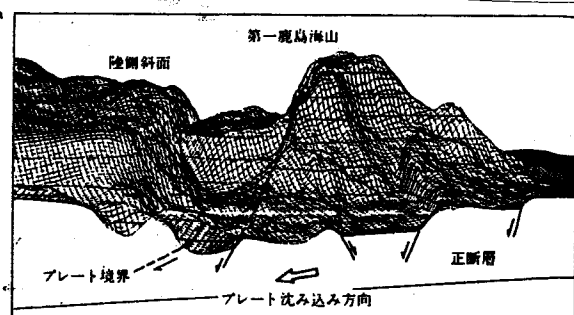


図 3-4 第一鹿島海山の沈み込み a: 地形のコンピューターグラフィックス, b: 反射人工地震波探査による断面図, c: 日仏 KAIGO 計画での潜水艇による観察を加味した地質断面の解釈

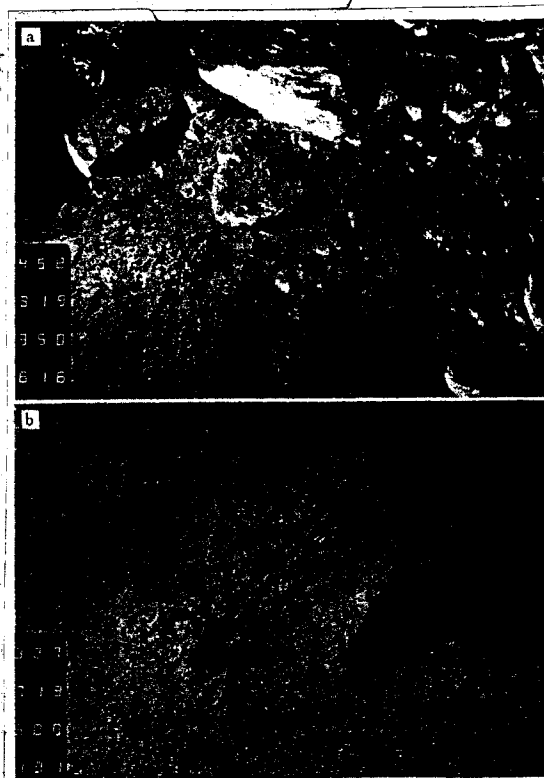
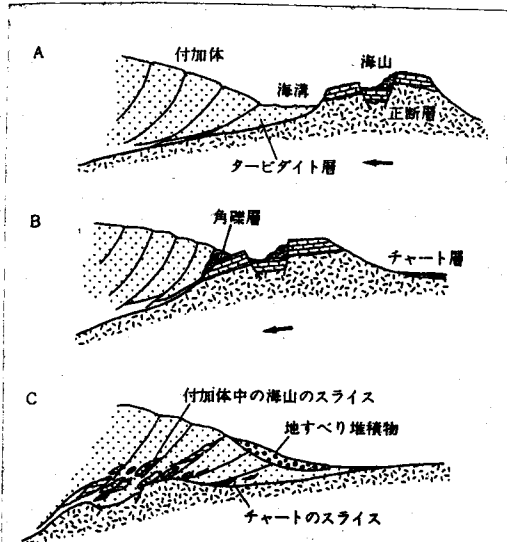
図 3-5 日仏 KAIGO 計画で潜水艇により撮影した第一鹿島海山付近の海底露頭(位置は、図 3-4c を参照)
a: ブレート境界で観察される砕碎されている石灰岩(水深 516 m). b: 急傾斜した陸側斜面の地層(水深 5919 m)

図 3-7 海山の沈み込みと付加過程。海山の頂上部がま ず付加される様子を示す。

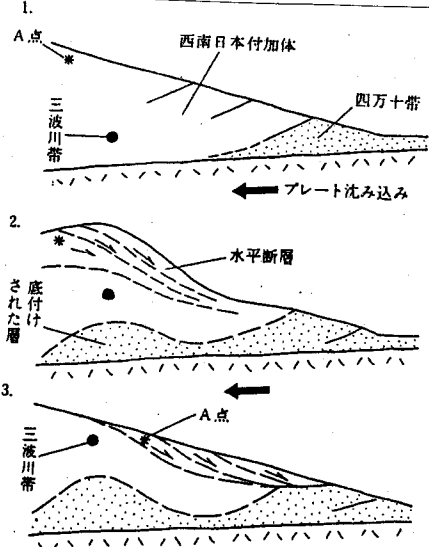


図 3-8 三波川帯を上昇させたメカニズム

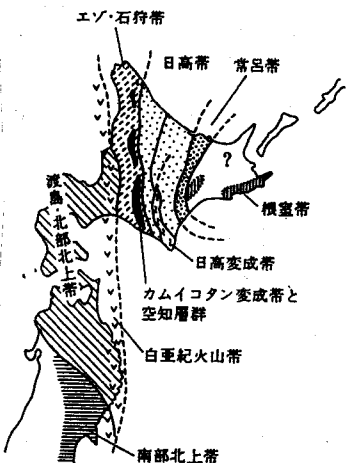


図 3-9 北海道の地質構造。渡島・北部北上帯はジュラ紀～前期白亜紀の付加体、その東縁に礼文・津軽・三陸海岸とつづく白亜紀の火山列がみられる。エゾ・石狩帯は白亜紀～第三紀の堆積層が厚く存在するが、隆起帯中ではその下位の空知層群と根室内オフィオライトが顕を出し、それらは、衝上断層でカムイコタン变成帯の上にのっている。

日高帯はジュラ紀～古第三紀の付加体、日高变成帯には高い温度で変成された岩石が露出している。常呂帯はジュラ紀～白亜紀付加体、根室帯は白亜紀後期～古第三紀の堆積層が分布する。知床から東部北海道にかけては、新しい時代の火山岩が広く分布しているが、基盤についてはよくわかっていない。

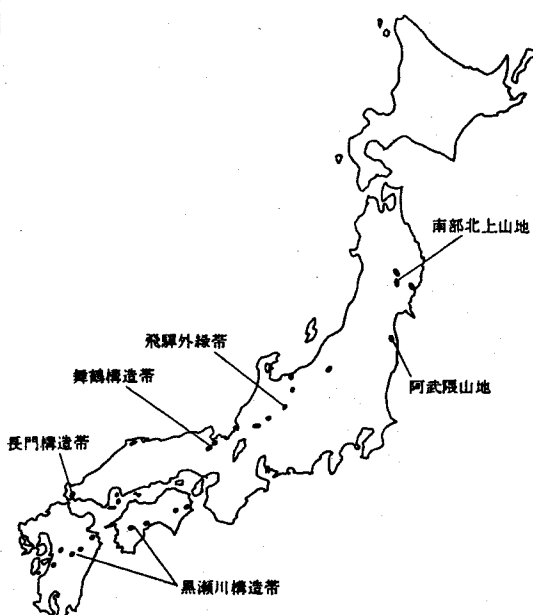
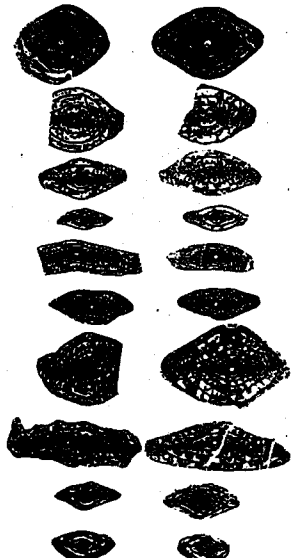
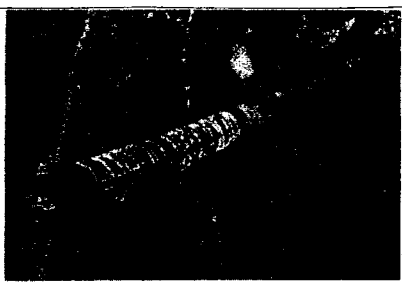
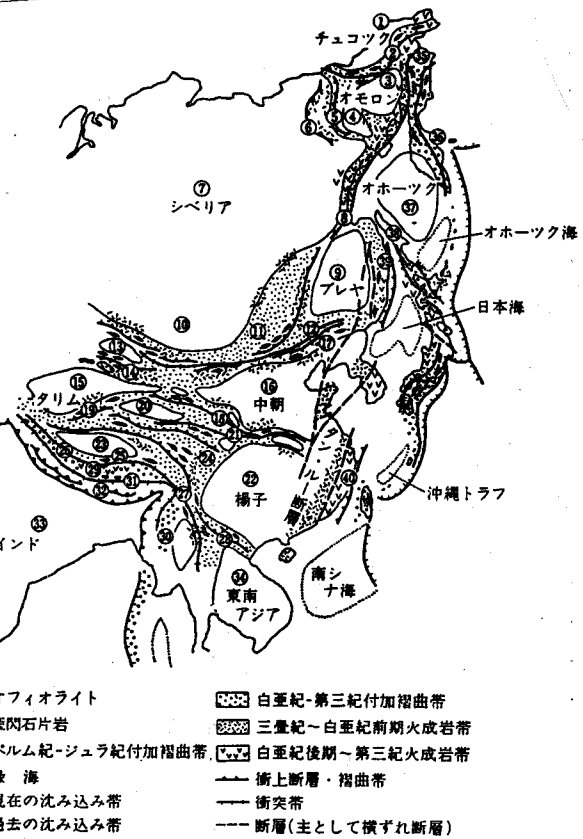


図 4-1 日本列島に分布するシルル紀～デボン紀の堆積岩および古い變成岩(3億年以上前)の分布。点々と分布しているのが特徴。ただし、点は実際の分布の広さを表わしていない。

図 4-2 東アジアの古生代末期以降の衝突・付加体の分類。東アジアは次のようなプロセスで形成された。まず、主として先カンブリア時代や古生代前期にできた大陸性地殻からなる地塊の周囲に沈み込み帯ができ、海底堆積物、海底断崖状地、海洋底堆積物、海山、島弧などが付加し、付加褶曲帯が形成された。古生代末から新生代初めにかけて、これらが衝突し、合体してでき上がった。この時、衝上断層褶曲帯も形成された。この図には、以上のようない地塊・付加体・衝突帯の分類と分布が示してある(時代は、付加・衝突の時期)。

①チュコツク地塊、②南アンヌイ付加褶曲帯(ジュラ紀)、③オモロシ地塊、④プリコルムスキイ地塊、⑤アラゼヤ付加褶曲帯(中生代前期)、⑥ベルホサンク衝上断層・褶曲帯(ジュラ紀に活動)、⑦シベリア地塊、⑧モンゴル・オコック付加褶曲帯(中生代前期)、⑨ブレヤ地塊、⑩サラン・モンゴル古生代前期付加体(シベリア地塊の一部)、⑪アルタイ・ヒンガン付加褶曲帯(古生代後期)、⑫インシャン衝突帯(中生代初期)、⑬ジンガル地塊、⑭テンシャン付加褶曲帯(古生代末期～中生代初期)、⑮タリム地塊、⑯中朝地塊、⑰ソロン付加褶曲帯(古生代末期～中生代初期)、⑱北キシリン・キリアン衝突帯(古生代末期～中生代初期)、⑲クンルン付加褶曲帯(古生代末期～中生代初期)、⑳ファイダム地塊、㉑キンリン・ダーベイシャン衝突帯(古生代前期)、㉒楊子地塊、㉓北チベット地塊、㉔バヤンカラシャン付加褶曲帯(中生代前期)、㉕タングラシャン付加褶曲帯(中生代)、㉖ルートグ衝突帯(中生代末)、㉗ランカン川衝突帯(中生代末)、㉘アイラオシン衝突帯(中生代)、㉙トベット付加体(中生代)、㉚ビルマ地塊および周辺付加褶曲帯(中生代末)、㉛ヤールン・ツァンボ川衝突帯(古生代第三紀)、㉜ヒマラヤ衝上断層・褶曲帯、㉝インド地塊、㉞東南アジア地塊、㉟コリヤック付加褶曲帯(中生代後期)、㉞オリョートル・カムチャツカ付加褶曲帯(新生代)、㉟オホーツク地塊、㉞サハリン付加褶曲帯(中生代末)、㉟シホテアリン付加褶曲帯(中生代)、㉞南中国古生代前期付加褶曲帯(楊子地塊の一部)

カシュクリーク石灰岩
(ブリティッシュコロンビア州)
秋吉台

図 3-2 鮮明しているフツリナ化石
(小澤智生氏による)高知県横倉山から産出した日本最古の化石群。
直角貝(甲藤次郎氏提供)

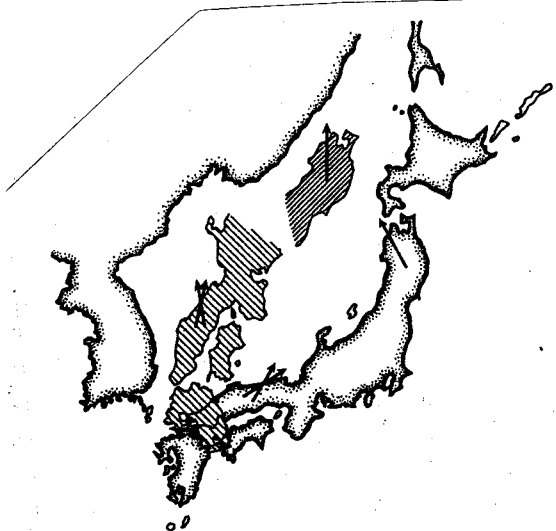


図 5-1 古地磁気のデータをもとに復元した日本海盆大前の東北日本と西南日本の位置。矢印は古地磁気の方位を示す。東北日本は時計回りに 25°、西南日本は反時計回りに 45° 回転させると古地磁気はもとの北をさすようになる。



図 5-3 日本海盆大前の日本列島の位置復元
打点部は海溝に沿って形成された 6500 万年前以降の付加体、白三角印は 2000 万～2200 万年前の火山フロント、黒三角印は 3000 万～4000 万年前の火山フロント、黒丸印は阿仁合型植物群(図中の葉印)とともに淡水産硅藻群集の産地点(『科学』85, 744(1985)による)。

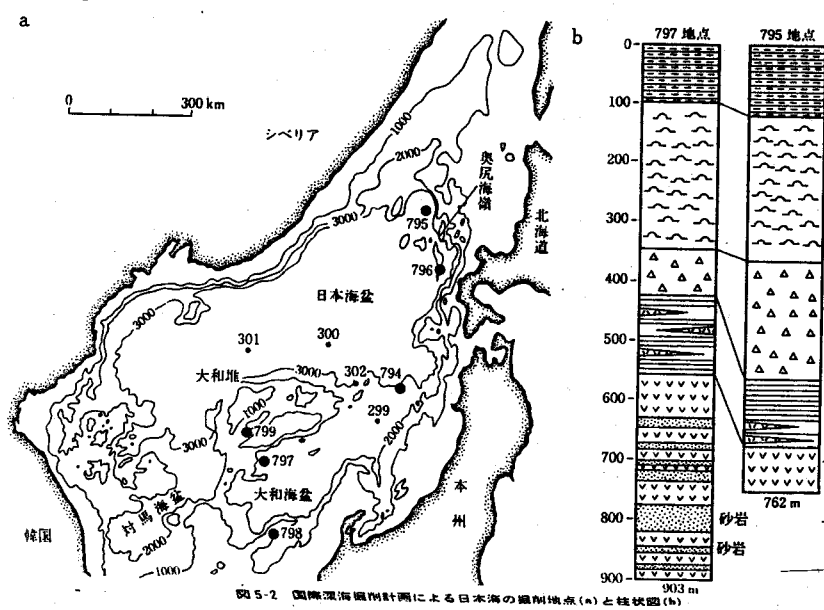
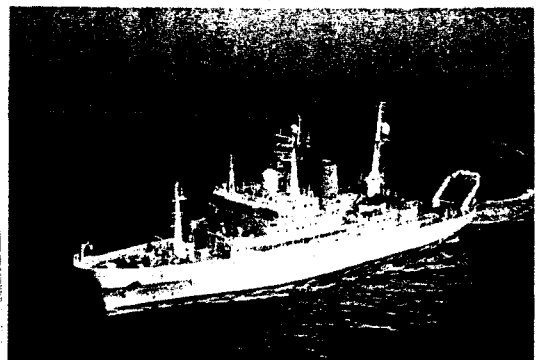


図 5-2 國際深海探査計画による日本海の磁気場点(a)と柱状図(b)



東京大学海洋研究所の最新鋭研究船「白鷹丸」



千葉県市宿でみられる砂層中の大きな斜交稜理。約 70 万年前、千葉県には黒潮が流れ込んでいた。

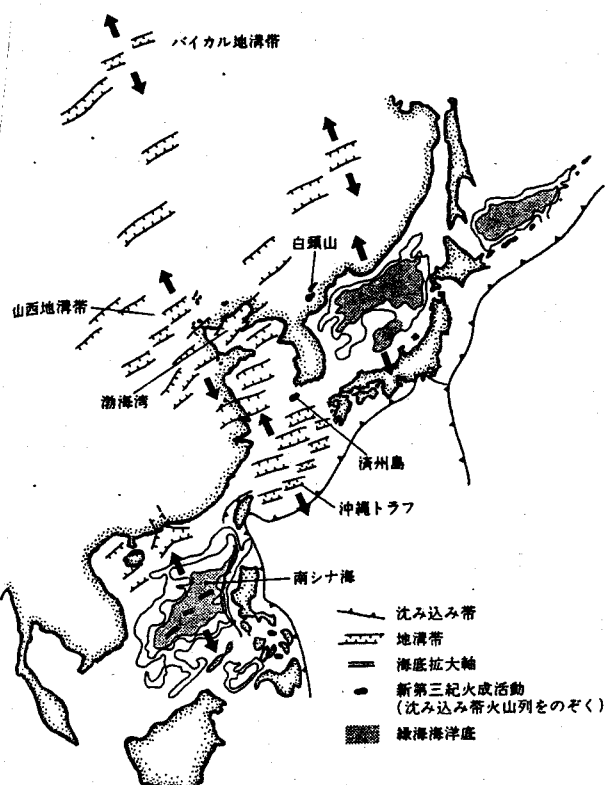


図 5-4 東アジアの地溝帯と緑海の分布

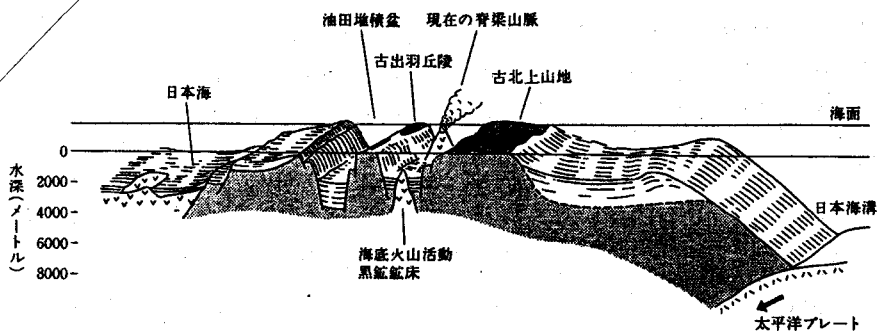


図 6-1 日本海拡大中から拡大直後にかけての東北日本の姿。2つの沈降帯が存在していた。

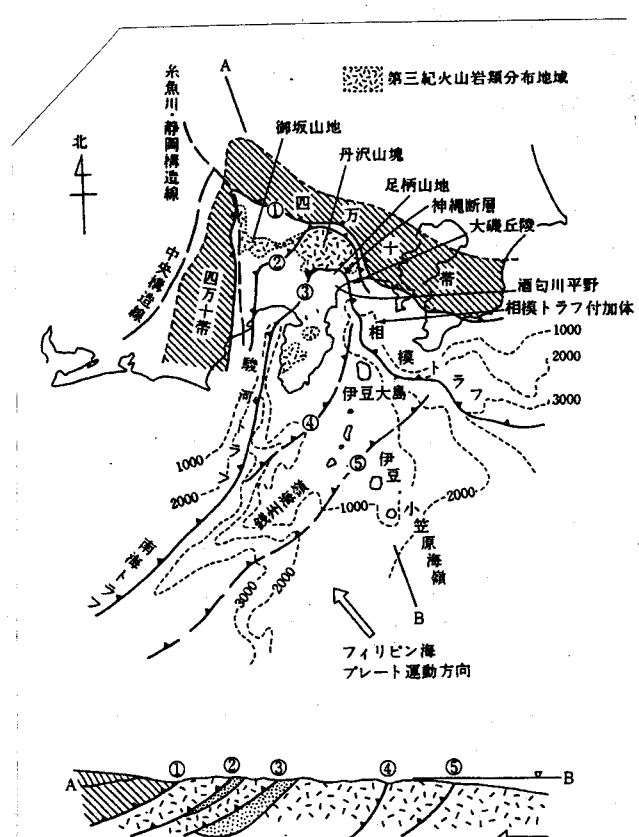


図 6-2 伊豆衝突帯。①は 1200 万年から 600 万年前、②は 500 万年前、③は 50 万年前の衝突付加境界、④、⑤は現在進行中の逆断層変形帯

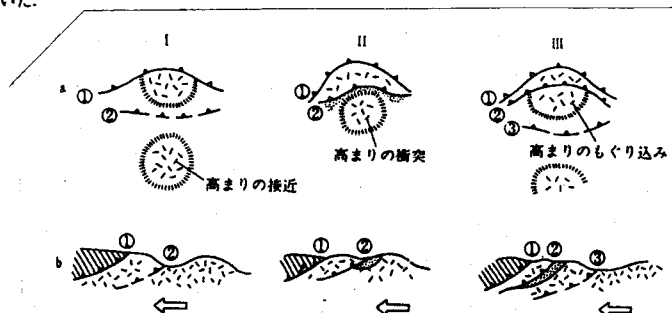


図 6-3 伊豆衝突帯の形成モデル。伊豆・小笠原海嶺中の大きな火山地塊が次々と付加されてきた。a は平面図、b は断面図で I, II, III と進行してゆく。

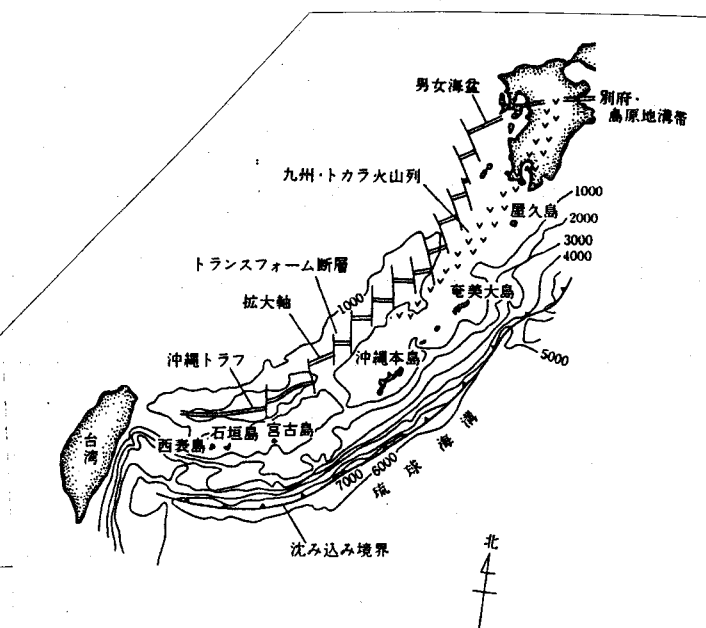


図 6-4 南西諸島と沖縄トラフ。沖縄トラフは現在ほぼ南北方向に拡大しつつある。

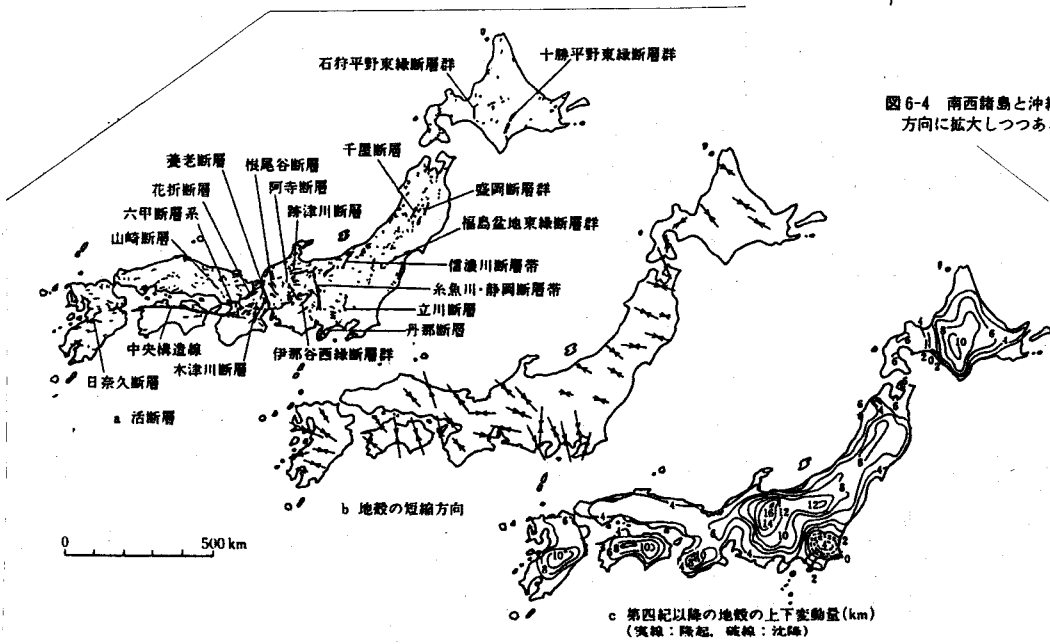


図 6-5 日本列島の地殻変動

- a : 第四紀に活動し、今後もまた活動すると思われる断層(活断層)の分布。連続した断層系や断層帯を太線で示す。
- b : 三角点の変動(1948~1967 年)からわかった 2 点間の距離の短縮方向。矢印の長いところは変化が大きく、東京付近での年間平均の短縮率は 100 万分の 0.2 程度である。
- c : 第四紀以降の地殻の上下変動量。単位は 100 m。実線は隆起量、破線は沈降量を示す。

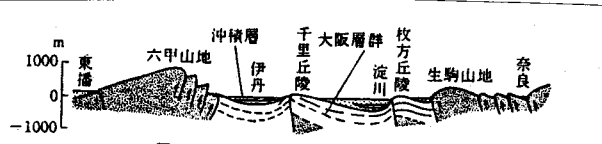


図 6-6 六甲・生駒を結ぶ東西断面

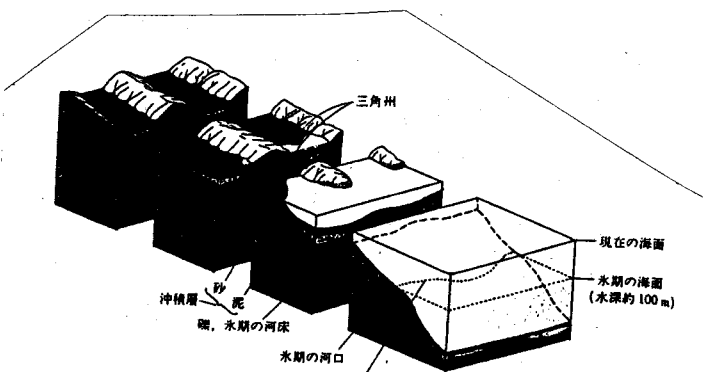


図 6-8 氷期から現在までの地形の変化と沖積層(前掲「日本の平野と海岸」による)

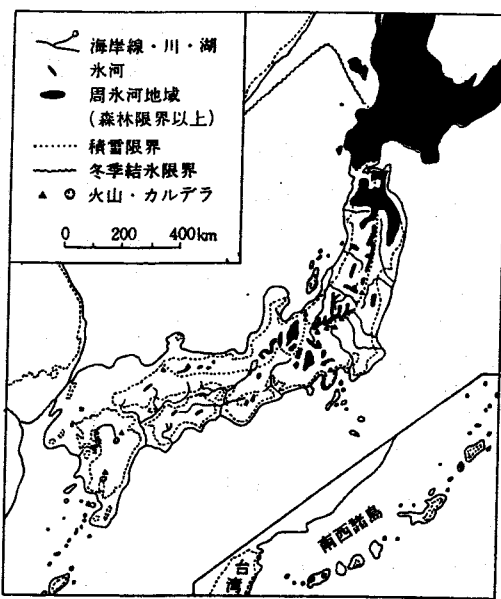
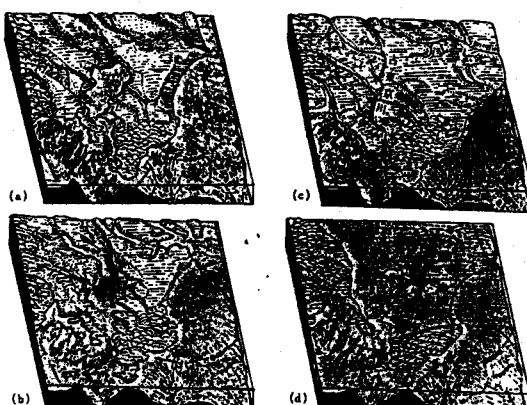


図 6-7 最終氷期(約 2 万年前)の古地理図(貝塚真平ほか「日本の平野と海岸」(日本の自然 4), 岩波書店, 1985 による)

図 6-9 過去 12 万年間の関東平野の変遷
a: 現在, b: 6000 年前, c: 2 万年前, d: 12 万年前(前掲『日本の平野と海岸』による)

高知県の島形山の石灰岩山。赤道で生まれた海山が付加したものである。

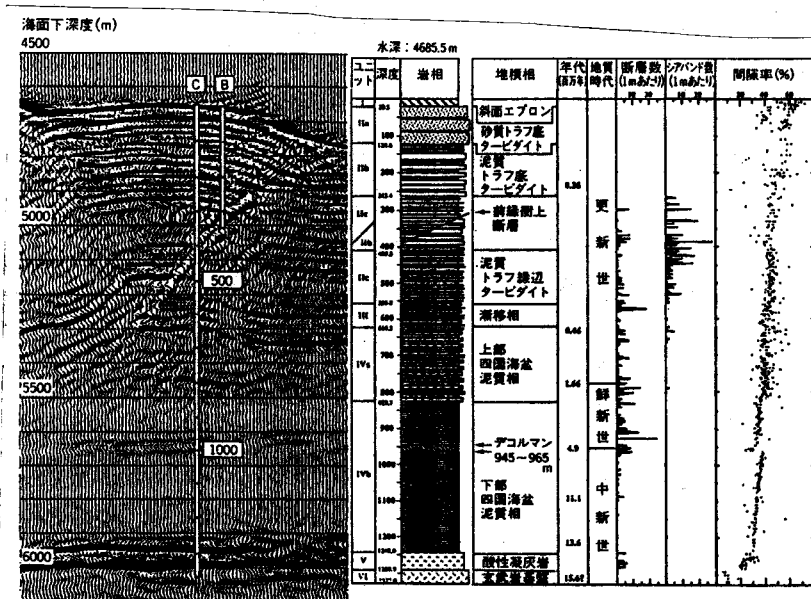


図 8-3 第 131 次航海の掘削結果、808 地点。

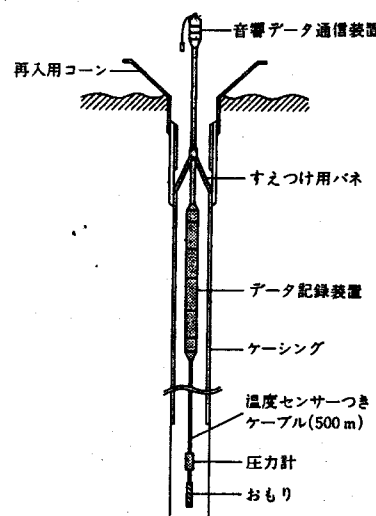
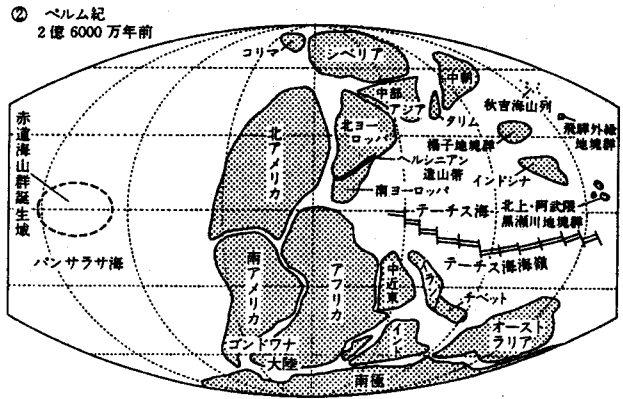
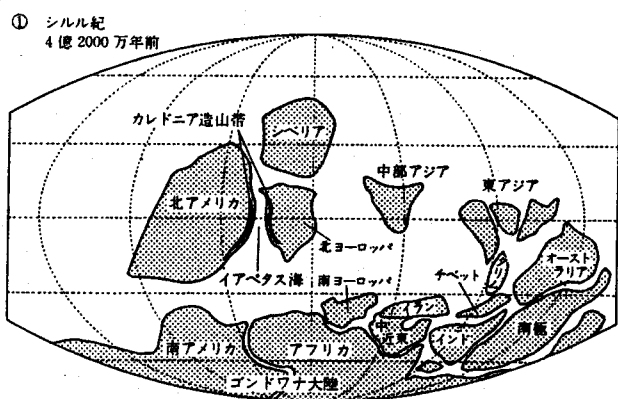
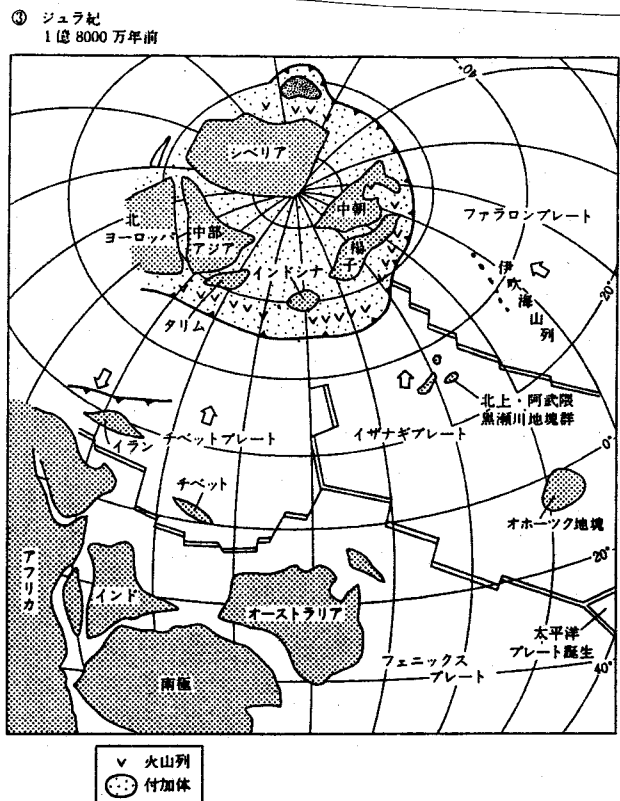


図 8-4 ONDO 装置の概要

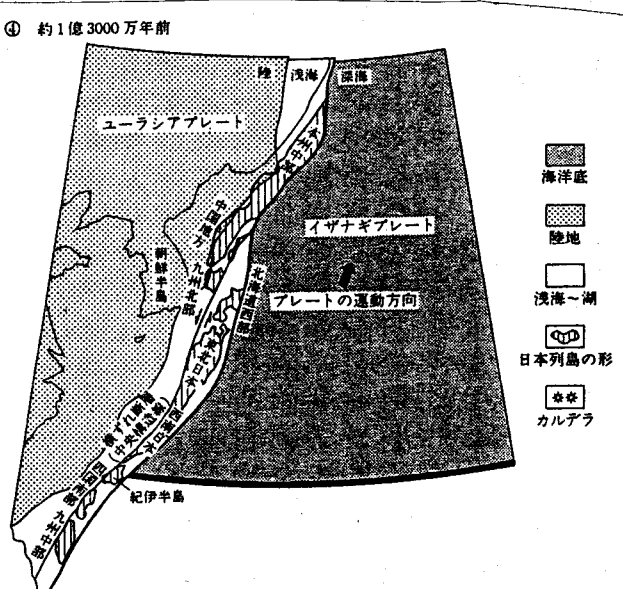


① シルル紀の世界、アジアの古い大陸の大部分はオーストラリアの近辺に存在した。飛騨外縁、南部北上、黒瀬川構造帯などに分布するシルル紀～デボン紀の岩石は、もともとこの位置にあった可能性がある。

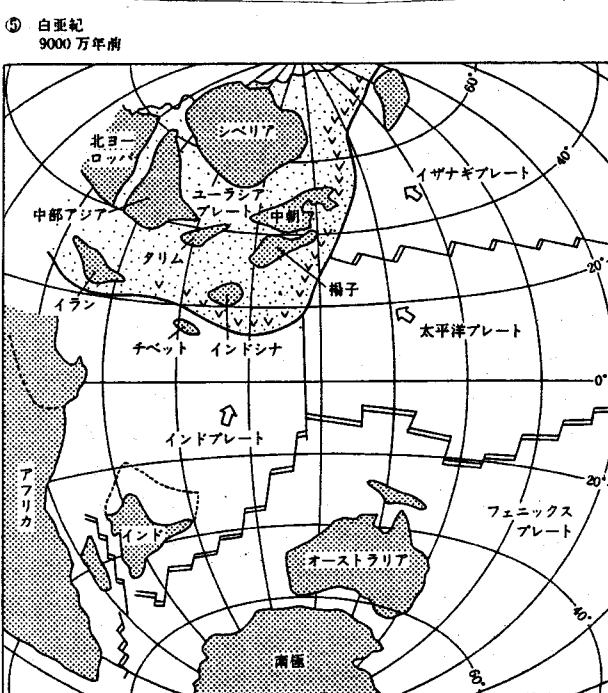
② ペルム紀の世界、シベリア、中部アジア、北ヨーロッパ、北アメリカが衝突合体し、ローラシア大陸ができた。秋吉海山列が中朝地塊へ沈み込みつつある。また飛騨外縁帯の古い岩石群が接近中



③ ジュラ紀のアジア、中朝、揚子地塊がローラシアに合体し、そのへりで、日本列島の付加体ができる。伊吹海山列、北上・阿武隈・黒瀬川の地塊群が接近中

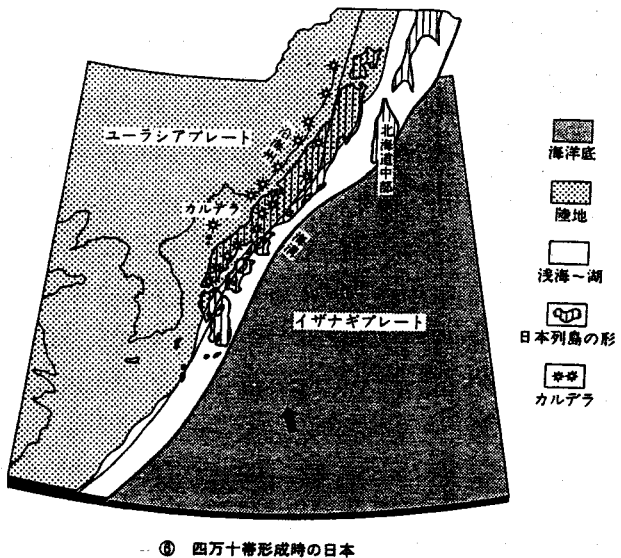


④ 白亜紀の横ずれ運動、外帯と内帯が横ずれして重なってゆく。

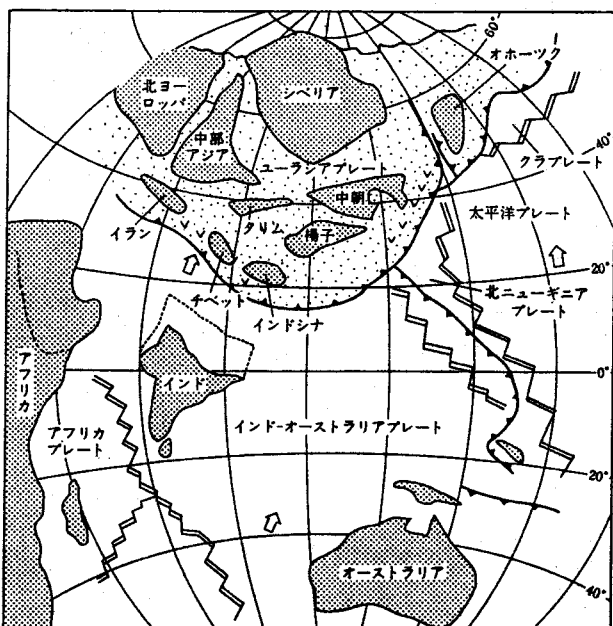


⑤ 白亜紀のアジア、東アジアのへりに長大な沈み込み帯ができ、四万十帯ができるつつある。

⑥ 約 7000 万年前

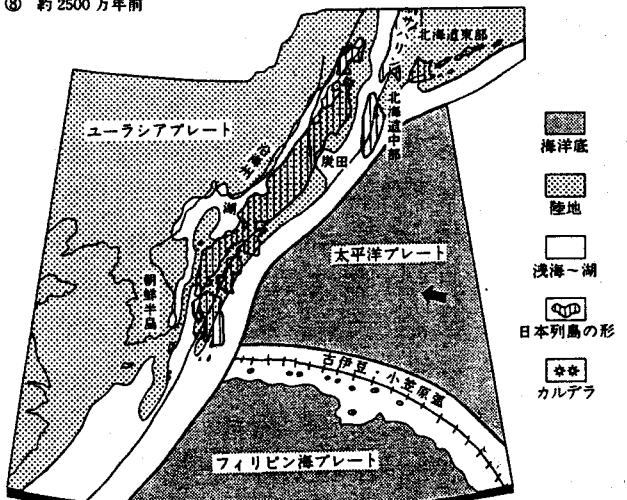


⑥ 四万十帯形成時の日本

⑦ 古第三紀
5000 万年前

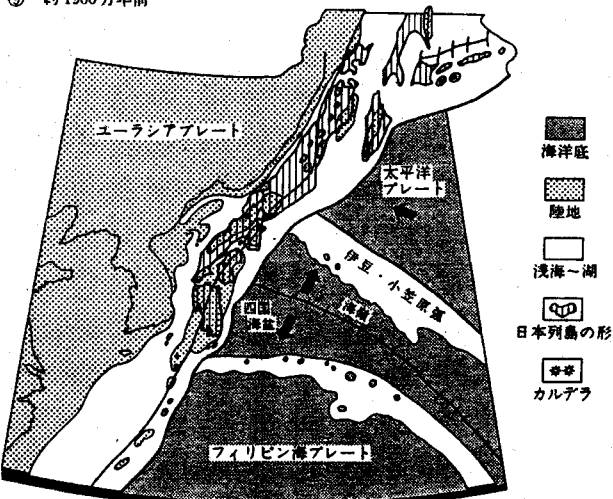
⑦ 古第三紀のアジア。オホーツク地塊がまもなく衝突する。日本には、新しくできた北ニューギニアプレートが沈み込んでいる。

⑧ 約 2500 万年前



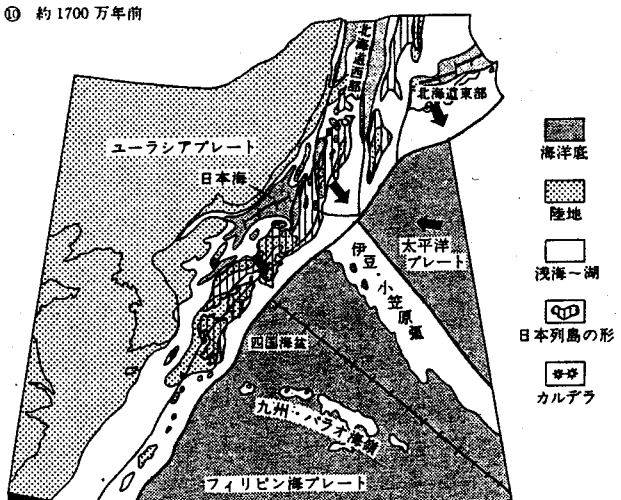
⑧ アジア大陸が割れ始めて地溝帯がつくられ、湖水群がつくられた。

⑨ 約 1900 万年前



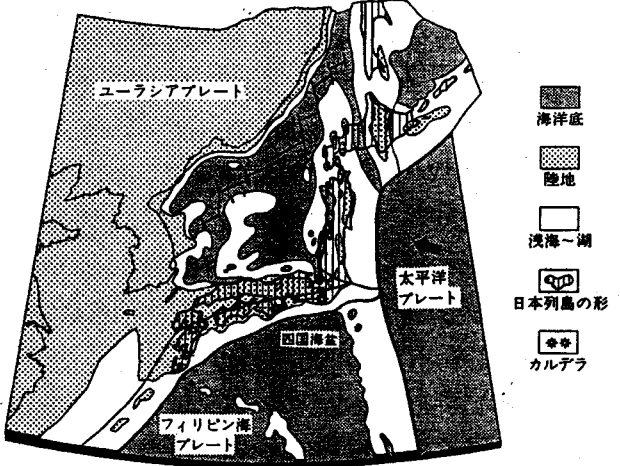
⑨ 地溝帯はさらに拡大し、海が侵入した。

⑩ 約 1700 万年前



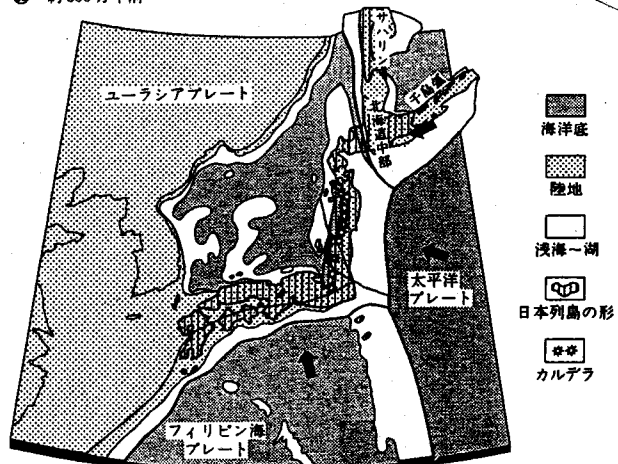
⑩ 日本海の拡大途中

⑪ 約 1450 万年前



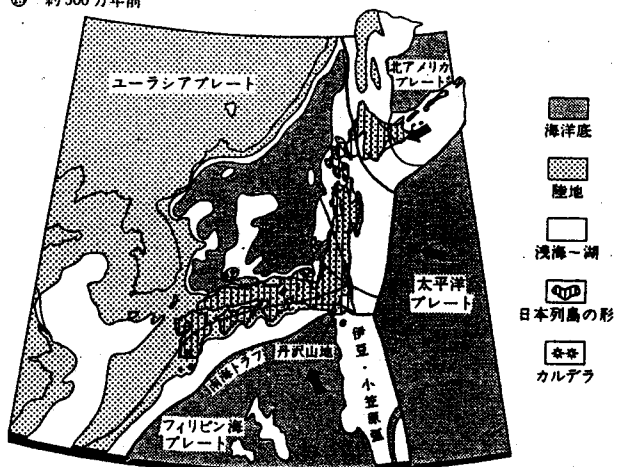
⑪ 日本海の拡大が終了した。

⑭ 約800万年前



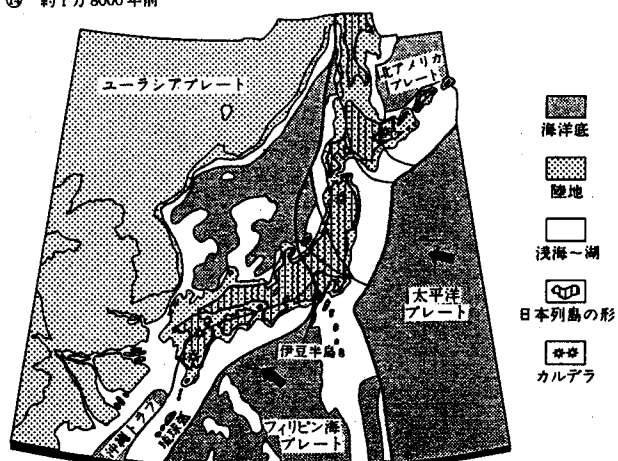
⑮ 隆起はじめた東北日本。カルデラの活動がさかん

⑯ 約500万年前



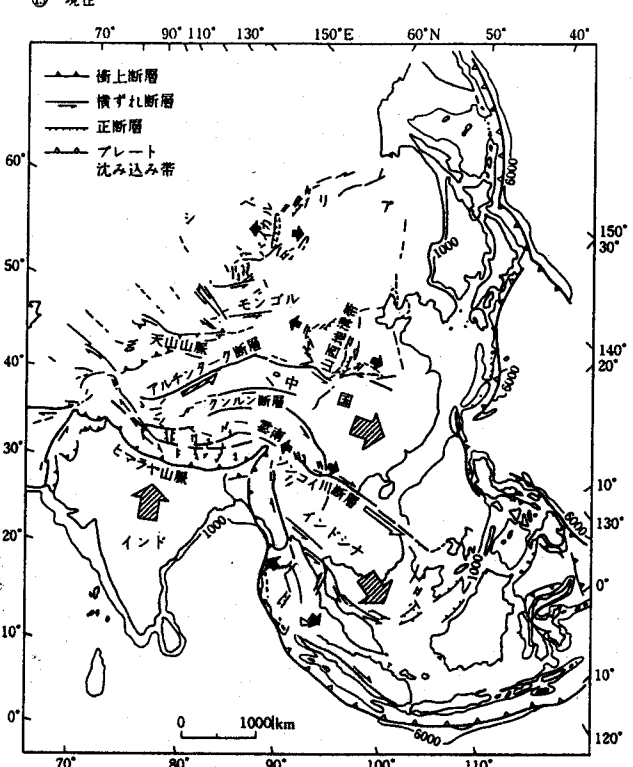
⑰ 丹沢海嶺の衝突

⑪ 約1万8000年前



⑫ 氷河時代の日本。日本海はほとんど閉鎖している。

⑬ 現在



⑭ 現在のアジアの変形。インドの衝突によって、東アジア全域が変形している。

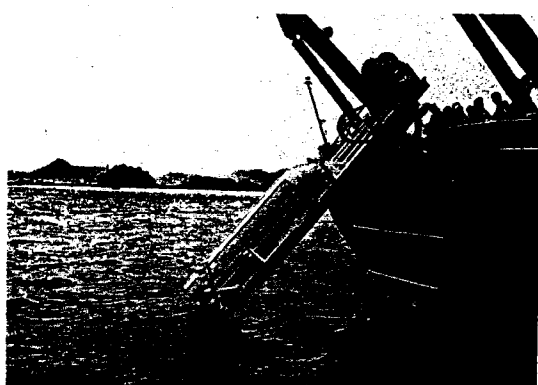


図8-1 白鳳丸より投入中のIZANAGIシステム

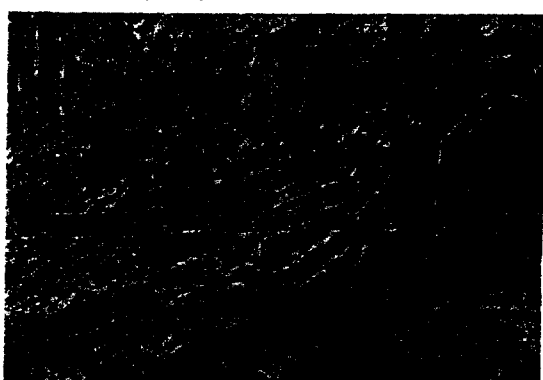


図8-2 室戸沖南海トラフのIZANAGIイメージ。右上より左下へ走るすじが付加体中の断層。図の横幅が約40kmに相当